

Místo, datum:  
Praha, 14. 7. 2020



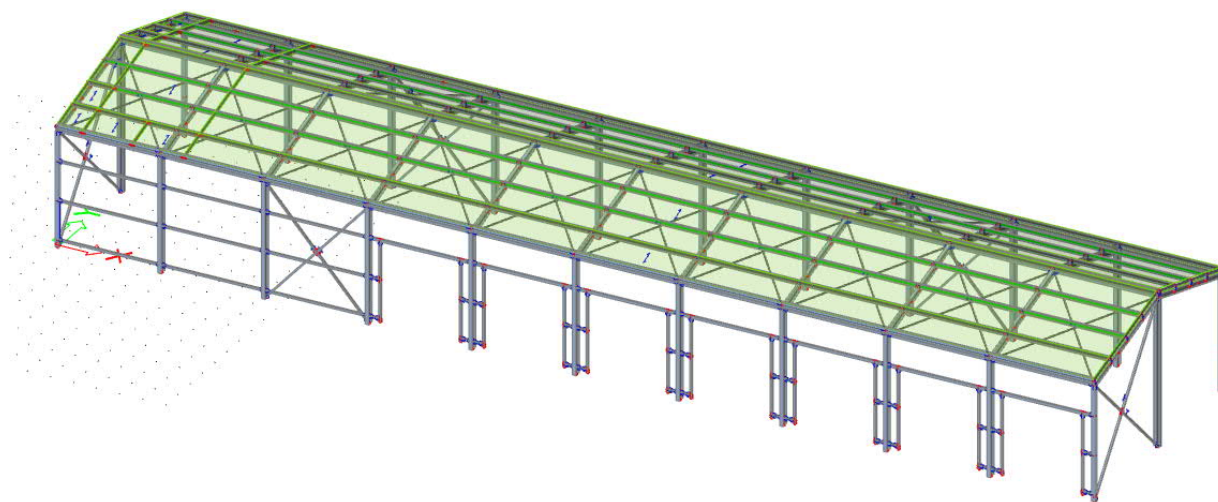
**Stavba:** Garážová stání, Pražská 917, Sušice

**Vypracoval:** Ing. Kovář Karel

**Kontroloval:** Ing. Tomáš Turský

## REAKCE DO ZÁKLADŮ (SO.02)

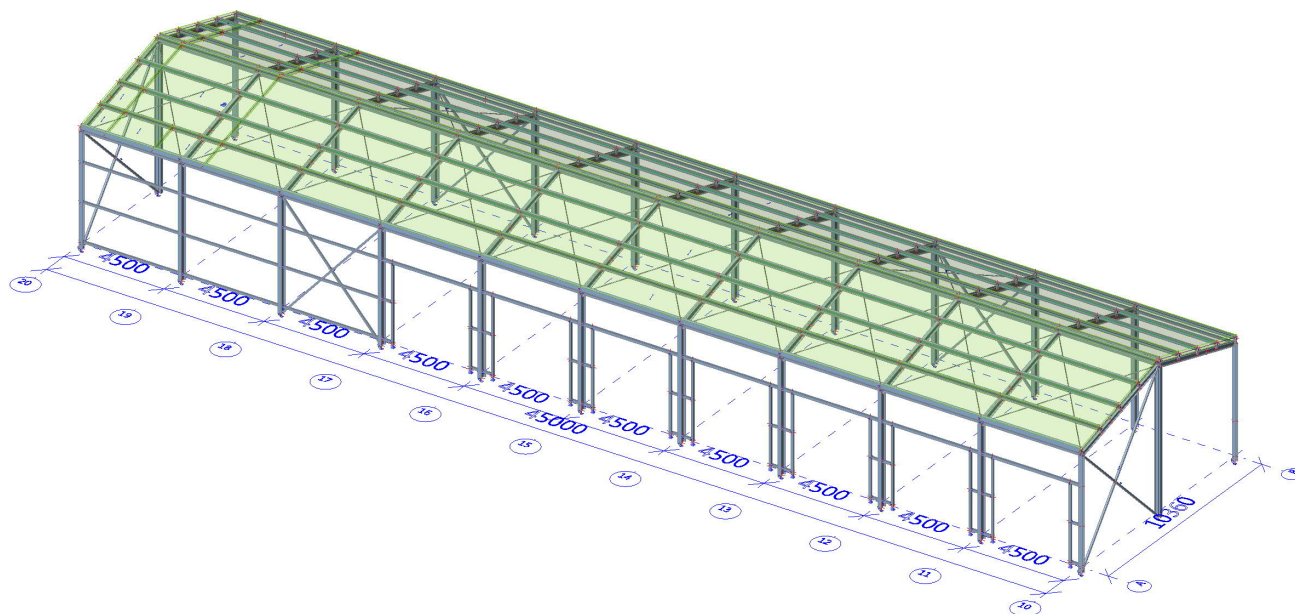
### Tendrová dokumentace



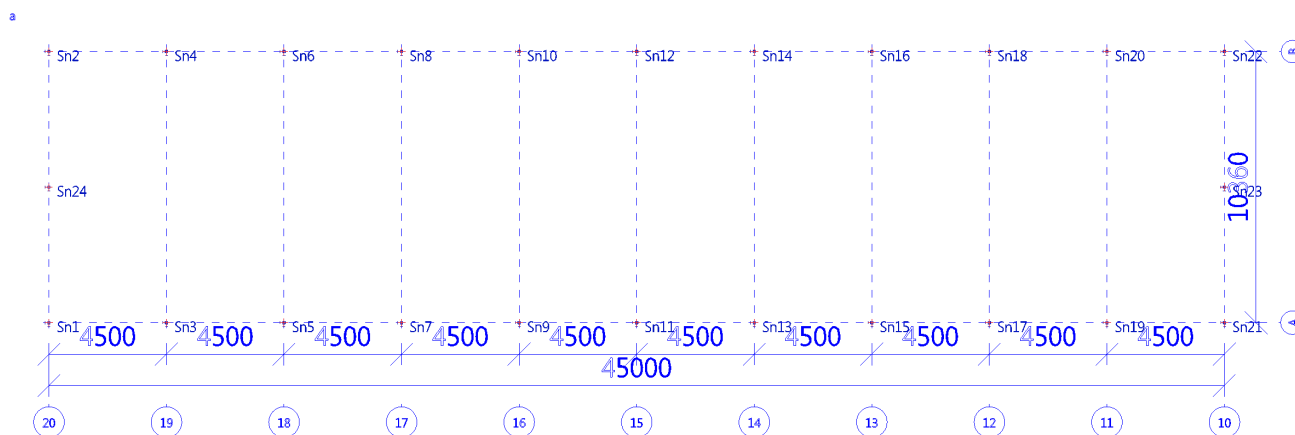
Kancelář / Office:  
Ruukki Building Systems, s.r.o.  
Pekařská 695/10a  
CZ-155 00, Praha 5  
<https://www.ruukki.com/building-systems>

Fakturační adresa / Invoicing Address:  
Ruukki Building Systems, s.r.o.  
Pekařská 695/10a  
CZ-155 00, Praha 5  
CZ08130671

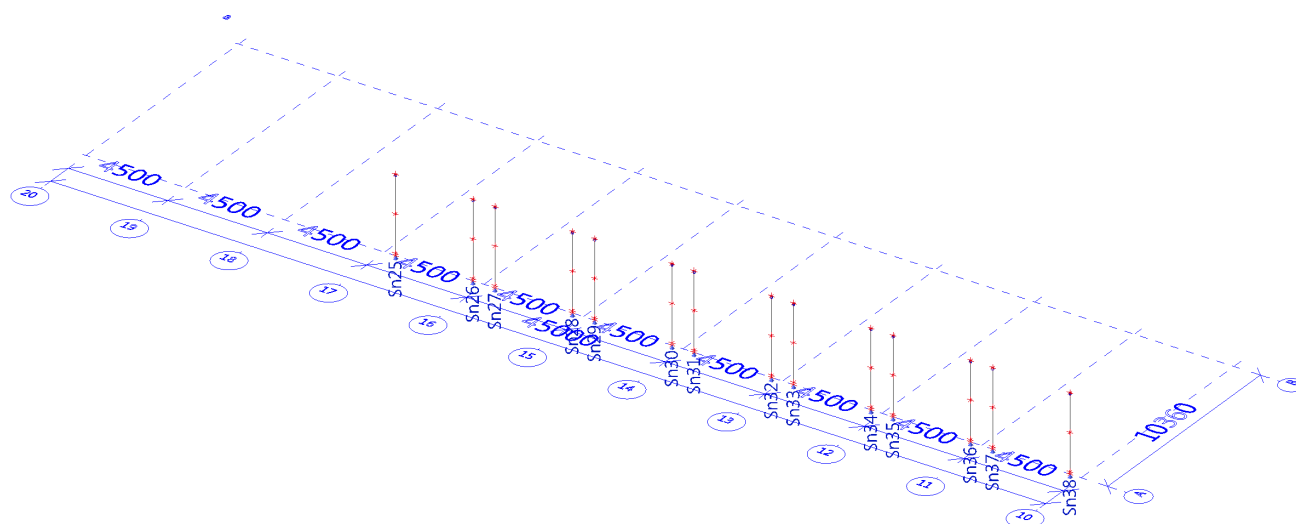
## Model konstrukce



## Označení podpor - hlavní sloupy



## Označení podpor - sloupky vrat



## Uvažované zatížení

### Stálé - střecha

skladba	normové [kN/m <sup>2</sup> ]	souč. zatíž. $\gamma_f$	výpočtové [kN/m <sup>2</sup> ]
Trapézový plech CB 40/160/0,75	0,100	1,35	0,135
Osvětlení	0,050	1,35	0,068
Celkem	0,150	1,35	0,203

Vlastní hmotnost ocelové konstrukce generuje program Scia Engineer.

### Nahodilé - užité

skladba	normové [kN/m <sup>2</sup> ]	souč. zatíž. $\gamma_f$	výpočtové [kN/m <sup>2</sup> ]
Užitné (kat. H)	0,750	1,50	1,125
Celkem stálé	0,750	1,50	<b>1,125</b>

### Teplota

- je uvažováno se zatížením teplotou +25°C (45-20)

- je uvažováno se zatížením teplotou -25°C (-5-20)

### Klimatická zatížení

#### sníh

$$s_n = s_k \cdot \mu \cdot C_e \cdot C_t \quad \gamma_f = 1,5$$

sněhová oblast:

II.

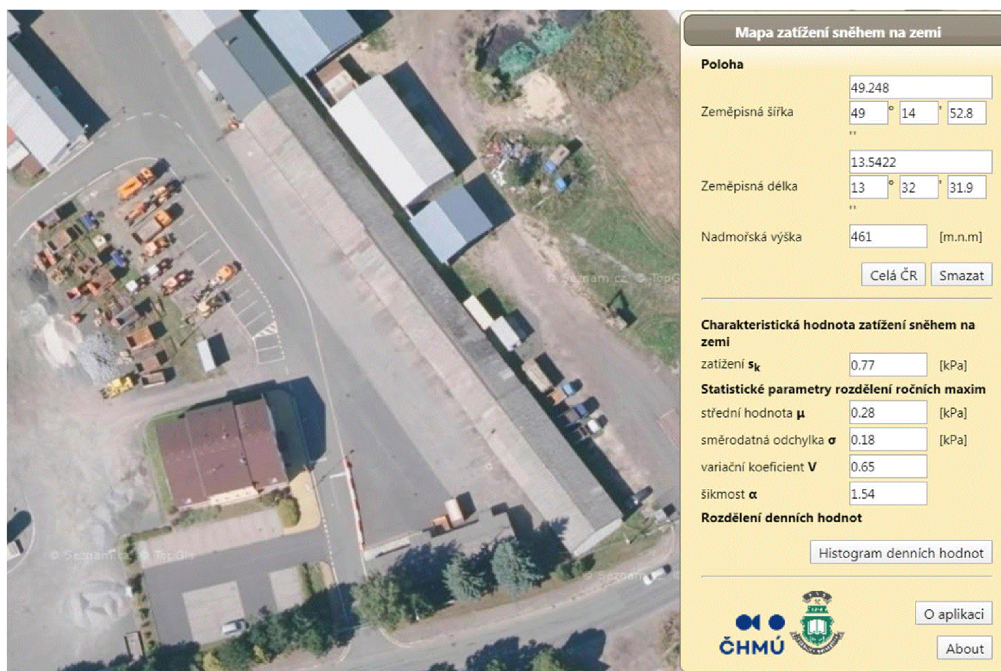
$$s_n = 0,77 \text{ [kN/m}^2\text{]} \quad (\text{Sušice, Pražská 917) dle ČHMÚ}$$

$$\mu = 0,80$$

$$C_e = 1,0$$

$$C_t = 1,0$$

$$s_n = \underline{0,616} \quad s_d = \underline{0,924} \text{ kN/m}^2$$



**Mapa zatížení sněhem na zemi**

**Poloha**

Zeměpisná šířka: 49.248  
Zeměpisná délka: 13.5422  
Nadmořská výška: 461 [m.n.m.]

**Charakteristická hodnota zatížení sněhem na zemi**

zatížení  $s_k$ : 0.77 [kPa]

**Statistické parametry rozdělení ročních maxim**

střední hodnota  $\mu$ : 0.28 [kPa]  
směrodatná odchylka  $\sigma$ : 0.18 [kPa]  
variační koeficient  $V$ : 0.65  
šikmost  $\alpha$ : 1.54

**Rozdělení denních hodnot**

Histogram denních hodnot

ČHMÚ

## Uvažovaný vítr na střeše

Kategorie terénu		$z_0$ [m]	$z_{min}$ [m]
0	Moře nebo pobřežní oblasti	0,003	1
I	Vodorovné oblasti bez překážek, jezera apod.	0,01	1
II	Nízká vegetace nebo budovy, kde jejich vzdálenost > 20x jejich výšky	0,05	2
III	Rovnoměrná vegetace, budovy kde jejich vzdálenost < 20x jejich výšky	0,3	5
IV	Min. 15% povrchu pokryto budovami o průměrné výšce >15m	1	10

Kategorie terénu	II
Výška budovy v hřebenu (m)	$z=$ 6,52
Větrová oblast	II
Výchozí hodnota základní rychlosti větru (m.s-1)	$v_{b,0}=$ 25

$$\begin{aligned}
 v_b &= c_{dir} \cdot c_{season} \cdot v_{b,0} \text{ (m} \cdot \text{s}^{-1}) & c_{dir} &= 1 \\
 v_b &= 25 & c_{season} &= 1 \\
 v_m(z) &= c_r(z) \cdot c_o(z) \cdot v_b \text{ (m} \cdot \text{s}^{-1}) & z_0 &= 0,05 \\
 v_m(z) &= 23,1354 & z_{min} &= 2 \\
 I_v(z) &= \sigma_v / v_m(z) = k_f / (c_o(z) \ln(z / z_0)), \text{ platí pro } z_{min} < z < z_{max} & z_{max} &= 200 \\
 I_v(z) &= 0,2053 & kr &= 0,19(z_0/z_{0,II})^{0,07} \\
 q_p(z) &= [1 + 7 I_v(z)] \cdot \rho \cdot v_m^2(z) / 2 & k_f &= 0,1900 \\
 q_p(z) &= 815,311 & c_r(z) &= k_f \ln(z/z_0), \text{ pro } z_{min} < z < z_{max} \\
 q_b &= 1/2 \cdot \rho \cdot v_b^2(z) & c_r(z) &= c_r(z_{min}), \text{ pro } z < z_{min} \\
 q_b &= 334,5286757 & c_r(z) &= 0,925415 \\
 c_e &= q_p(z) / q_b = & c_o(z) &= 1 \\
 c_e &= 2,43719 & k_f &= 1 \\
 & & \rho &= 1,25
 \end{aligned}$$

**Základní dynamický tlak větru:**

$$q_p(z) = 0,815$$

## Tvarové součinitele střechy (sedlové)

### A) Směr větru $\theta=0^\circ$

$$d=11$$

$$b=45$$

$$h=6,520$$

$$\alpha=16,0$$

$$h_p=0,000$$

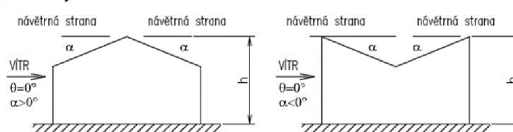
$$e=\min(b,2h)$$

$$e=13,04$$

$$e/10=1,304$$

$$e/4=3,260$$

Pohledy



$$F_{sani} = -0,873$$

$$F_{tlak} = 0,233$$

$$G_{sani} = -0,780$$

$$G_{tlak} = 0,233$$

$$H_{sani} = -0,293$$

$$H_{tlak} = 0,213$$

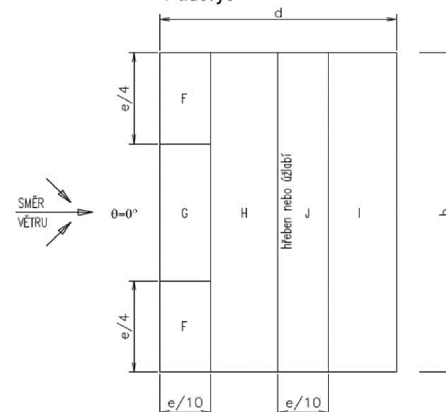
$$I_{sani} = -0,400$$

$$I_{tlak} = 0,000$$

$$J_{sani} = -0,967$$

$$J_{tlak} = 0,000$$

Půdorys



### B) Směr větru $\theta=90^\circ$

$$d=45$$

$$b=11$$

$$h=6,520$$

$$\alpha=16,0$$

$$h_p=0,000$$

$$e=\min(b,2h)$$

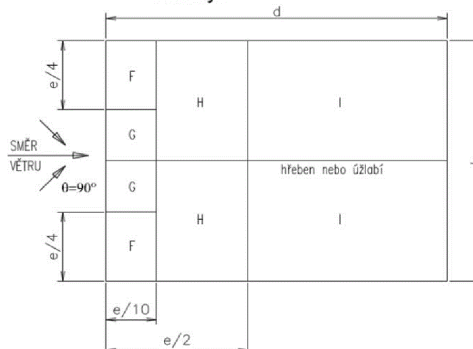
$$e=11$$

$$e/10=1,100$$

$$e/4=2,750$$

$$e/2=5,500$$

Půdorys



$$F_{sani} = -1,287$$

$$F_{tlak} = 0,000$$

$$G_{sani} = -1,307$$

$$G_{tlak} = 0,000$$

$$H_{sani} = -0,613$$

$$H_{tlak} = 0,000$$

$$I_{sani} = -0,500$$

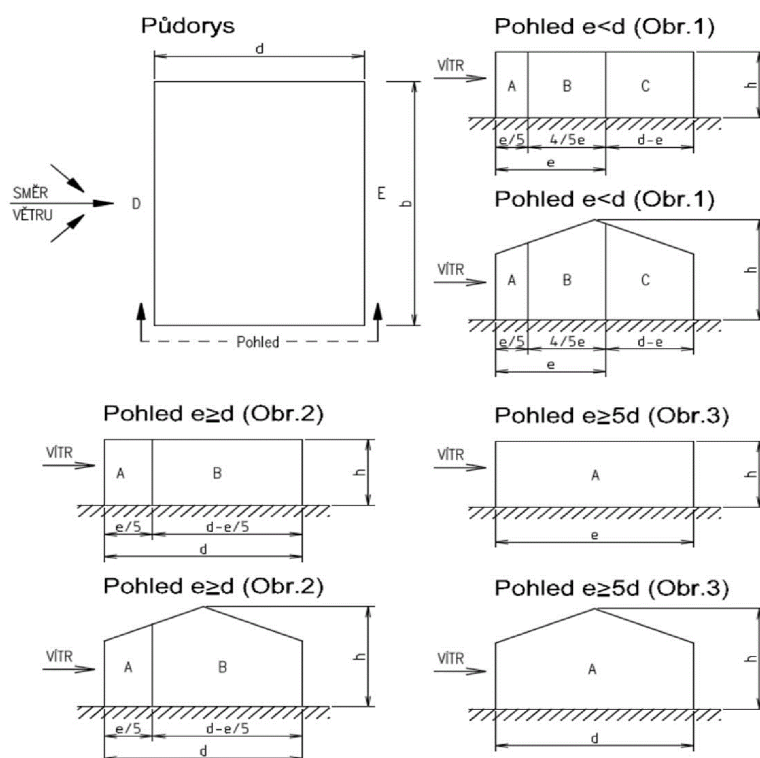
$$I_{tlak} = 0,000$$

## Uvažovaný vítr na stěny

### Tvarové součinitele stěn

 $d = 11,000$ 
 $b = 45$ 
 $h = 6,52$ 
 $h/d = 0,593$ 
 $e = \min(b, 2h)$ 
 $e = 13,04$ 
 $e > d \rightarrow$ 

Platí obrázek 2


 $A = -1,200$ 
 $B = -0,800$ 
 $C = -0,500$ 
 $D = 0,746$ 
 $E = -0,391$ 

oblast A (m) 2,61

oblast B (m) 8,39

oblast C (m) 0,00

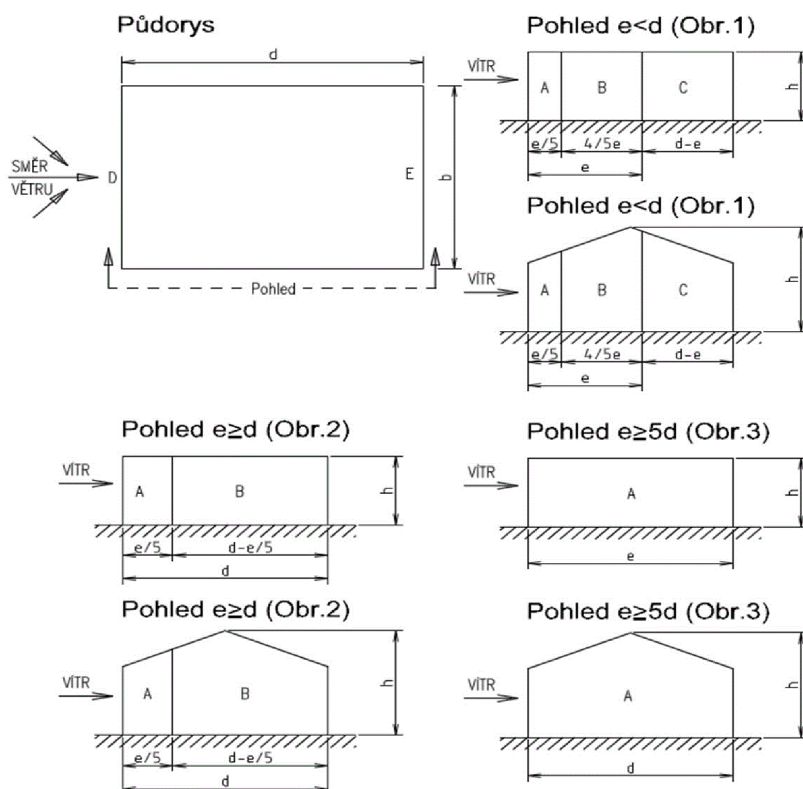
 $w_n(A) = -0,978$ 
 $w_n(B) = -0,652$ 
 $w_n(C) = -0,408$ 
 $w_n(D) = 0,608$ 
 $w_n(E) = -0,319$ 
 $w_d(A) = -1,468$ 
 $w_d(B) = -0,978$ 
 $w_d(C) = -0,611$ 
 $w_d(D) = 0,912$ 
 $w_d(E) = -0,479$



## Tvarové součinitele stěn

$d = 45$   
 $b = 11$   
 $h = 6,52$   
 $h/d = 0,145$   
 $e = \min(b, 2h)$   
 $e = 11$   
 $e < d \rightarrow$

Platí obrázek 1



$A = -1,200$   
 $B = -0,800$   
 $C = -0,500$   
 $D = 0,700$   
 $E = -0,300$

oblast A (m) 2,20  
 oblast B (m) 8,80  
 oblast C (m) 34,00

$w_n(A) = -0,978$   
 $w_n(B) = -0,652$   
 $w_n(C) = -0,408$   
 $w_n(D) = 0,571$   
 $w_n(E) = -0,245$

$w_d(A) = -1,468$   
 $w_d(B) = -0,978$   
 $w_d(C) = -0,611$   
 $w_d(D) = 0,856$   
 $w_d(E) = -0,367$



## Zatěžovací stavy

Name	Description Spec	Action type Load type	Load group	Direction	Duration	Master load case
LC1	Self weight	Permanent Self weight	LG1	-Z		
LC2	Stálé	Permanent Standard	LG1			
LC3	Užitné Standard	Variable Static	LG2		Short	None
LC4	Sníh I Snow	Variable Static	LG3			None
LC5	Sníh II Snow	Variable Static	LG3			None
LC6	Sníh III Snow	Variable Static	LG3			None
LC7	Vitr-směr +x Static wind	Variable Static	LG4			None
LC8	Vitr-směr +y-dolů Static wind	Variable Static	LG4			None
LC9	Vitr-směr +y-nahoru Static wind	Variable Static	LG4			None
LC10	Teplota + Temperature	Variable Static	LG5			None
LC11	Teplota - Temperature	Variable Static	LG5			None

## Combinations

Name	Description	Type	Load cases	Coeff. [-]
ULS-Set B (auto)		EN-ULS (STR/GEO) Set B	LC1 - Self weight	1,00
			LC2 - Stálé	1,00
			LC3 - Užitné	1,00
			LC4 - Sníh I	1,00
			LC5 - Sníh II	1,00
			LC6 - Sníh III	1,00
			LC7 - Vitr-směr +x	1,00
			LC8 - Vitr-směr +y-dolů	1,00
			LC9 - Vitr-směr +y-nahoru	1,00
			LC10 - Teplota +	1,00
			LC11 - Teplota -	1,00
SLS-Char (auto)		EN-SLS Characteristic	LC1 - Self weight	1,00
			LC2 - Stálé	1,00
			LC3 - Užitné	1,00
			LC4 - Sníh I	1,00
			LC5 - Sníh II	1,00
			LC6 - Sníh III	1,00
			LC7 - Vitr-směr +x	1,00
			LC8 - Vitr-směr +y-dolů	1,00
			LC9 - Vitr-směr +y-nahoru	1,00
			LC10 - Teplota +	1,00
			LC11 - Teplota -	1,00



Name	Case	R <sub>x</sub> [kN]	R <sub>y</sub> [kN]	R <sub>z</sub> [kN]	M <sub>x</sub> [kNm]	M <sub>y</sub> [kNm]	M <sub>z</sub> [kNm]	e <sub>x</sub> [mm]	e <sub>y</sub> [mm]
Sn24/N56	LC1	0,00	-0,05	4,63	0,00	0,00	0,00	0,0	0,0
Sn17/N308	LC1	0,00	0,83	5,49	0,00	0,00	0,00	0,0	0,0
Sn18/N310	LC1	-0,43	-0,95	6,14	0,00	0,00	0,00	0,0	0,0
Sn19/N333	LC1	0,00	0,79	5,41	0,00	0,00	0,00	0,0	0,0
Sn20/N335	LC1	0,00	-0,93	5,52	0,00	0,00	0,00	0,0	0,0
Sn38/N391	LC1	0,01	0,00	0,85	0,00	0,00	0,00	0,0	0,0
Sn37/N393	LC1	0,00	-0,01	0,86	0,00	0,00	0,00	0,0	0,0
Sn25/N423	LC1	-0,07	0,00	0,86	0,00	0,00	0,00	0,0	0,0
Sn26/N424	LC1	-0,01	0,00	0,85	0,00	0,00	0,00	0,0	0,0
Sn27/N418	LC1	-0,01	0,00	0,86	0,00	0,00	0,00	0,0	0,0
Sn28/N419	LC1	-0,01	0,00	0,86	0,00	0,00	0,00	0,0	0,0
Sn29/N413	LC1	-0,01	0,00	0,86	0,00	0,00	0,00	0,0	0,0
Sn30/N414	LC1	-0,01	0,00	0,86	0,00	0,00	0,00	0,0	0,0
Sn31/N408	LC1	-0,01	0,00	0,86	0,00	0,00	0,00	0,0	0,0
Sn32/N409	LC1	0,00	0,00	0,86	0,00	0,00	0,00	0,0	0,0
Sn33/N403	LC1	0,00	0,00	0,86	0,00	0,00	0,00	0,0	0,0
Sn34/N404	LC1	0,00	0,00	0,86	0,00	0,00	0,00	0,0	0,0
Sn35/N398	LC1	0,00	0,00	0,86	0,00	0,00	0,00	0,0	0,0
Sn36/N399	LC1	0,00	0,00	0,86	0,00	0,00	0,00	0,0	0,0

## LC2-stálé - Reakce Rz

Values: **Rz**

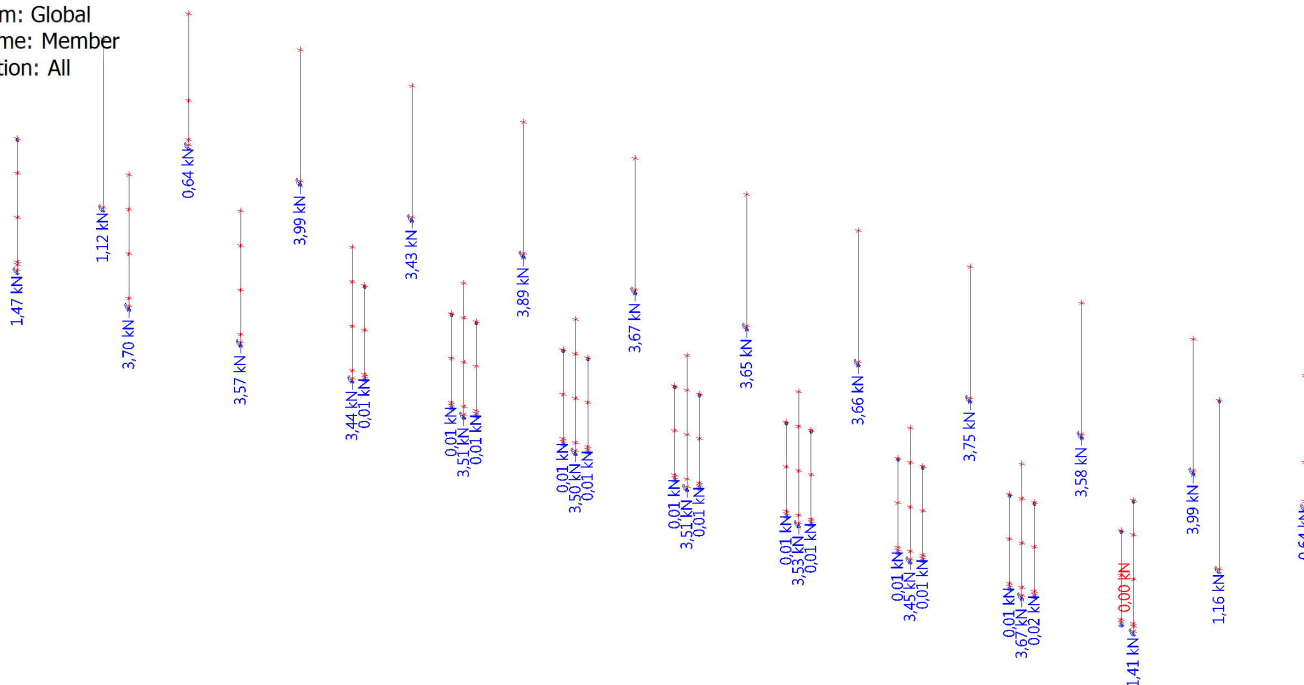
Linear calculation

Load case: LC2

System: Global

Extreme: Member

Selection: All



## Reakce od LC2

Linear calculation

Load case: LC2

System: Global

Extreme: Member

Selection: All

Nodal reactions

Name	Case	R <sub>x</sub> [kN]	R <sub>y</sub> [kN]	R <sub>z</sub> [kN]	M <sub>x</sub> [kNm]	M <sub>y</sub> [kNm]	M <sub>z</sub> [kNm]	e <sub>x</sub> [mm]	e <sub>y</sub> [mm]
Sn1/N1	LC2	0,00	0,36	1,47	0,00	0,00	0,00	0,0	0,0
Sn2/N3	LC2	0,00	-0,05	0,64	0,00	0,00	0,00	0,0	0,0
Sn3/N7	LC2	0,00	0,98	3,70	0,00	0,00	0,00	0,0	0,0
Sn4/N9	LC2	0,00	-1,16	3,99	0,00	0,00	0,00	0,0	0,0
Sn5/N13	LC2	0,18	0,93	3,57	0,00	0,00	0,01	0,0	0,0
Sn6/N15	LC2	0,14	-1,06	3,43	0,00	0,00	-0,01	0,0	0,0
Sn7/N19	LC2	-0,03	0,98	3,44	0,00	0,00	0,00	0,0	0,0
Sn8/N21	LC2	-0,29	-1,11	3,89	0,00	0,00	0,01	0,0	0,0
Sn9/N25	LC2	0,03	0,98	3,51	0,00	0,00	0,00	0,0	0,0
Sn10/N27	LC2	0,00	-1,07	3,67	0,00	0,00	0,00	0,0	0,0
Sn11/N31	LC2	0,02	0,97	3,50	0,00	0,00	0,00	0,0	0,0
Sn12/N33	LC2	0,00	-1,06	3,65	0,00	0,00	0,00	0,0	0,0
Sn13/N37	LC2	0,02	0,98	3,51	0,00	0,00	0,00	0,0	0,0
Sn14/N39	LC2	0,00	-1,07	3,66	0,00	0,00	0,00	0,0	0,0
Sn15/N43	LC2	0,01	0,98	3,53	0,00	0,00	0,00	0,0	0,0
Sn16/N45	LC2	0,23	-1,09	3,75	0,00	0,00	-0,01	0,0	0,0
Sn21/N49	LC2	0,00	0,35	1,41	0,00	0,00	0,00	0,0	0,0
Sn22/N51	LC2	0,00	-0,05	0,64	0,00	0,00	0,00	0,0	0,0
Sn23/N55	LC2	0,00	0,28	1,16	0,00	0,00	0,00	0,0	0,0

Name	Case	R <sub>x</sub> [kN]	R <sub>y</sub> [kN]	R <sub>z</sub> [kN]	M <sub>x</sub> [kNm]	M <sub>y</sub> [kNm]	M <sub>z</sub> [kNm]	e <sub>x</sub> [mm]	e <sub>y</sub> [mm]
Sn24/N56	LC2	0,00	0,31	1,12	0,00	0,00	0,00	0,0	0,0
Sn17/N308	LC2	0,01	0,94	3,45	0,00	0,00	0,00	0,0	0,0
Sn18/N310	LC2	-0,20	-1,07	3,58	0,00	0,00	0,01	0,0	0,0
Sn19/N333	LC2	0,00	0,99	3,67	0,00	0,00	0,00	0,0	0,0
Sn20/N335	LC2	0,00	-1,17	3,99	0,00	0,00	0,00	0,0	0,0
Sn38/N391	LC2	0,01	0,00	0,00	0,00	0,00	0,00	0,0	0,0
Sn37/N393	LC2	0,00	-0,01	0,02	0,00	0,00	0,00	0,0	0,0
Sn25/N423	LC2	-0,08	-0,01	0,01	0,00	0,00	0,00	0,0	0,0
Sn26/N424	LC2	-0,02	-0,01	0,01	0,00	0,00	0,00	0,0	0,0
Sn27/N418	LC2	-0,02	-0,01	0,01	0,00	0,00	0,00	0,0	0,0
Sn28/N419	LC2	-0,01	-0,01	0,01	0,00	0,00	0,00	0,0	0,0
Sn29/N413	LC2	-0,01	-0,01	0,01	0,00	0,00	0,00	0,0	0,0
Sn30/N414	LC2	-0,01	-0,01	0,01	0,00	0,00	0,00	0,0	0,0
Sn31/N408	LC2	-0,01	-0,01	0,01	0,00	0,00	0,00	0,0	0,0
Sn32/N409	LC2	0,00	-0,01	0,01	0,00	0,00	0,00	0,0	0,0
Sn33/N403	LC2	0,00	-0,01	0,01	0,00	0,00	0,00	0,0	0,0
Sn34/N404	LC2	0,00	0,00	0,01	0,00	0,00	0,00	0,0	0,0
Sn35/N398	LC2	0,00	-0,01	0,01	0,00	0,00	0,00	0,0	0,0
Sn36/N399	LC2	0,00	-0,01	0,01	0,00	0,00	0,00	0,0	0,0

## LC3-užitné - Reakce Rz

Values: **R<sub>z</sub>**

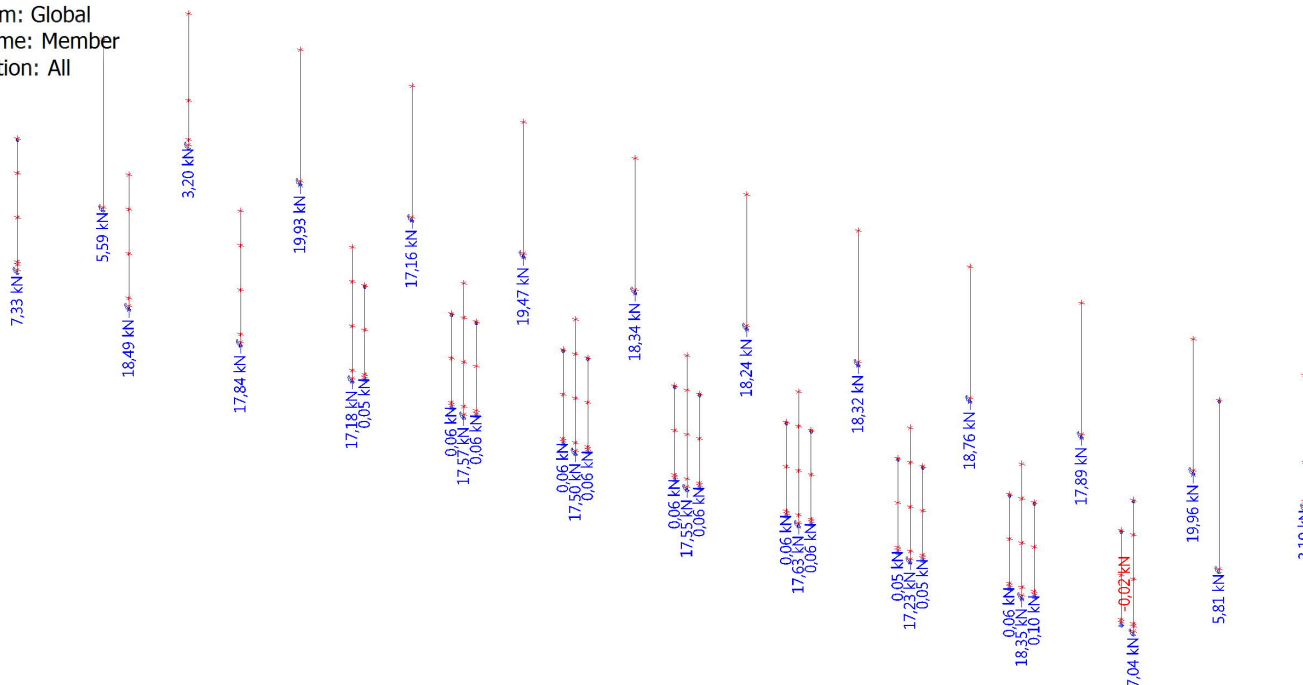
Linear calculation

Load case: LC3

System: Global

Extreme: Member

Selection: All



## Reakce od LC3

Linear calculation

Load case: LC3

System: Global

Extreme: Member

Selection: All

Nodal reactions

Name	Case	R <sub>x</sub> [kN]	R <sub>y</sub> [kN]	R <sub>z</sub> [kN]	M <sub>x</sub> [kNm]	M <sub>y</sub> [kNm]	M <sub>z</sub> [kNm]	e <sub>x</sub> [mm]	e <sub>y</sub> [mm]
Sn1/N1	LC3	0,01	1,82	7,33	0,00	0,00	0,00	0,0	0,0
Sn2/N3	LC3	0,00	-0,24	3,20	0,00	0,00	0,00	0,0	0,0
Sn3/N7	LC3	0,01	4,90	18,49	0,00	0,00	0,00	0,0	0,0
Sn4/N9	LC3	0,00	-5,82	19,93	0,00	0,00	0,00	0,0	0,0
Sn5/N13	LC3	0,92	4,63	17,84	0,00	0,00	0,03	0,0	0,0
Sn6/N15	LC3	0,72	-5,29	17,16	0,00	0,00	-0,03	0,0	0,0
Sn7/N19	LC3	-0,16	4,91	17,18	0,00	0,00	-0,02	0,0	0,0
Sn8/N21	LC3	-1,43	-5,53	19,47	0,00	0,00	0,03	0,0	0,0
Sn9/N25	LC3	0,14	4,89	17,57	0,00	0,00	0,00	0,0	0,0
Sn10/N27	LC3	0,00	-5,37	18,34	0,00	0,00	0,00	0,0	0,0
Sn11/N31	LC3	0,11	4,86	17,50	0,00	0,00	0,00	0,0	0,0
Sn12/N33	LC3	0,00	-5,31	18,24	0,00	0,00	0,00	0,0	0,0
Sn13/N37	LC3	0,08	4,88	17,55	0,00	0,00	0,00	0,0	0,0
Sn14/N39	LC3	0,00	-5,36	18,32	0,00	0,00	0,00	0,0	0,0
Sn15/N43	LC3	0,05	4,89	17,63	0,00	0,00	0,00	0,0	0,0
Sn16/N45	LC3	1,17	-5,47	18,76	0,00	0,00	-0,03	0,0	0,0
Sn21/N49	LC3	-0,02	1,74	7,04	0,00	0,00	0,00	0,0	0,0
Sn22/N51	LC3	0,00	-0,24	3,19	0,00	0,00	0,00	0,0	0,0
Sn23/N55	LC3	0,00	1,40	5,81	0,00	0,00	0,00	0,0	0,0

Name	Case	R <sub>x</sub> [kN]	R <sub>y</sub> [kN]	R <sub>z</sub> [kN]	M <sub>x</sub> [kNm]	M <sub>y</sub> [kNm]	M <sub>z</sub> [kNm]	e <sub>x</sub> [mm]	e <sub>y</sub> [mm]
Sn24/N56	LC3	0,00	1,53	5,59	0,00	0,00	0,00	0,0	0,0
Sn17/N308	LC3	0,03	4,72	17,23	0,00	0,00	0,00	0,0	0,0
Sn18/N310	LC3	-0,98	-5,35	17,89	0,00	0,00	0,03	0,0	0,0
Sn19/N333	LC3	0,01	4,96	18,35	0,00	0,00	0,00	0,0	0,0
Sn20/N335	LC3	0,00	-5,83	19,96	0,00	0,00	0,00	0,0	0,0
Sn38/N391	LC3	0,07	0,01	-0,02	0,00	0,00	0,00	0,0	0,0
Sn37/N393	LC3	0,02	-0,04	0,10	0,00	0,00	0,00	0,0	0,0
Sn25/N423	LC3	-0,38	-0,03	0,05	0,00	0,00	0,00	0,0	0,0
Sn26/N424	LC3	-0,08	-0,03	0,06	0,00	0,00	0,00	0,0	0,0
Sn27/N418	LC3	-0,08	-0,03	0,06	0,00	0,00	0,00	0,0	0,0
Sn28/N419	LC3	-0,06	-0,03	0,06	0,00	0,00	0,00	0,0	0,0
Sn29/N413	LC3	-0,06	-0,03	0,06	0,00	0,00	0,00	0,0	0,0
Sn30/N414	LC3	-0,04	-0,03	0,06	0,00	0,00	0,00	0,0	0,0
Sn31/N408	LC3	-0,04	-0,03	0,06	0,00	0,00	0,00	0,0	0,0
Sn32/N409	LC3	-0,02	-0,03	0,06	0,00	0,00	0,00	0,0	0,0
Sn33/N403	LC3	-0,02	-0,03	0,06	0,00	0,00	0,00	0,0	0,0
Sn34/N404	LC3	0,00	-0,02	0,05	0,00	0,00	0,00	0,0	0,0
Sn35/N398	LC3	0,00	-0,03	0,05	0,00	0,00	0,00	0,0	0,0
Sn36/N399	LC3	0,02	-0,03	0,06	0,00	0,00	0,00	0,0	0,0



## LC4-sníh I - Reakce Rz

Values: **Rz**

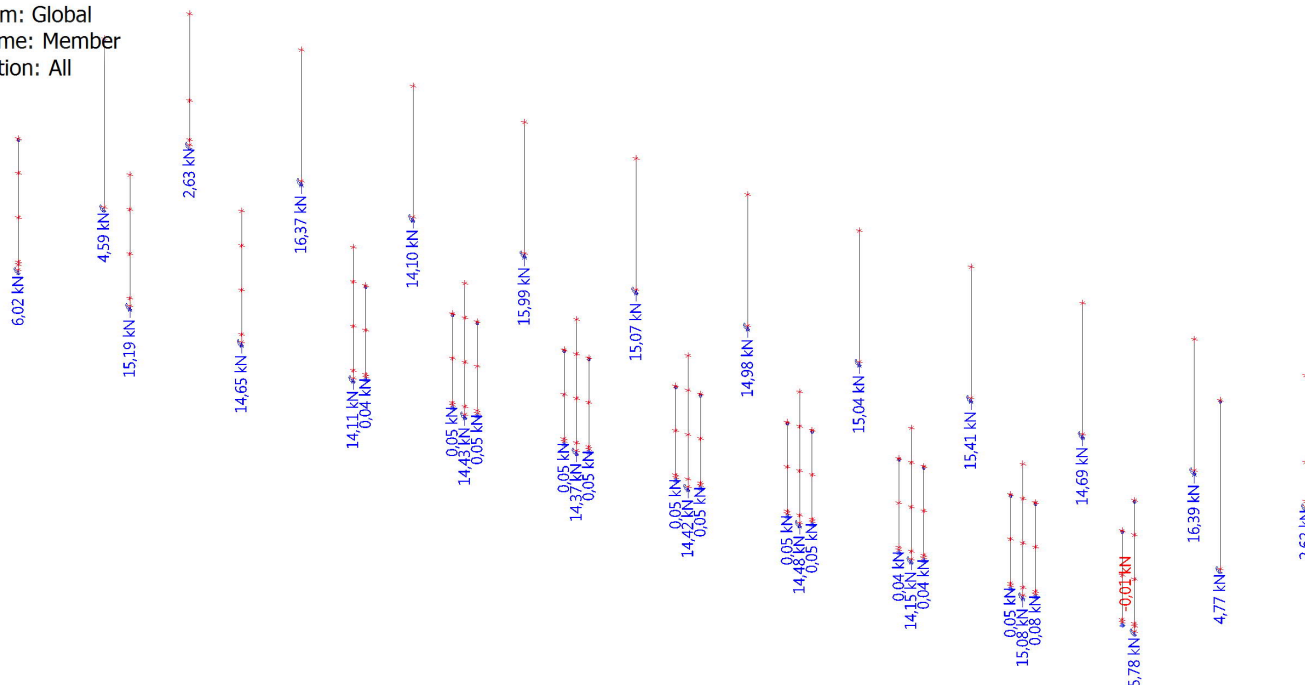
Linear calculation

Load case: LC4

System: Global

Extreme: Member

Selection: All



## Reakce od LC4

Linear calculation

Load case: LC4

System: Global

Extreme: Member

Selection: All

Nodal reactions

Name	Case	R <sub>x</sub> [kN]	R <sub>y</sub> [kN]	R <sub>z</sub> [kN]	M <sub>x</sub> [kNm]	M <sub>y</sub> [kNm]	M <sub>z</sub> [kNm]	e <sub>x</sub> [mm]	e <sub>y</sub> [mm]
Sn1/N1	LC4	0,01	1,50	6,02	0,00	0,00	0,00	0,0	0,0
Sn2/N3	LC4	0,00	-0,20	2,63	0,00	0,00	0,00	0,0	0,0
Sn3/N7	LC4	0,01	4,03	15,19	0,00	0,00	0,00	0,0	0,0
Sn4/N9	LC4	0,00	-4,78	16,37	0,00	0,00	0,00	0,0	0,0
Sn5/N13	LC4	0,75	3,80	14,65	0,00	0,00	0,02	0,0	0,0
Sn6/N15	LC4	0,59	-4,34	14,10	0,00	0,00	-0,02	0,0	0,0
Sn7/N19	LC4	-0,13	4,04	14,11	0,00	0,00	-0,02	0,0	0,0
Sn8/N21	LC4	-1,17	-4,54	15,99	0,00	0,00	0,02	0,0	0,0
Sn9/N25	LC4	0,11	4,01	14,43	0,00	0,00	0,00	0,0	0,0
Sn10/N27	LC4	0,00	-4,41	15,07	0,00	0,00	0,00	0,0	0,0
Sn11/N31	LC4	0,09	4,00	14,37	0,00	0,00	0,00	0,0	0,0
Sn12/N33	LC4	0,00	-4,36	14,98	0,00	0,00	0,00	0,0	0,0
Sn13/N37	LC4	0,07	4,01	14,42	0,00	0,00	0,00	0,0	0,0
Sn14/N39	LC4	0,00	-4,40	15,04	0,00	0,00	0,00	0,0	0,0
Sn15/N43	LC4	0,05	4,02	14,48	0,00	0,00	0,00	0,0	0,0
Sn16/N45	LC4	0,96	-4,49	15,41	0,00	0,00	-0,02	0,0	0,0
Sn21/N49	LC4	-0,02	1,43	5,78	0,00	0,00	0,00	0,0	0,0
Sn22/N51	LC4	0,00	-0,20	2,62	0,00	0,00	0,00	0,0	0,0
Sn23/N55	LC4	0,00	1,15	4,77	0,00	0,00	0,00	0,0	0,0

Name	Case	R <sub>x</sub> [kN]	R <sub>y</sub> [kN]	R <sub>z</sub> [kN]	M <sub>x</sub> [kNm]	M <sub>y</sub> [kNm]	M <sub>z</sub> [kNm]	e <sub>x</sub> [mm]	e <sub>y</sub> [mm]
Sn24/N56	LC4	0,00	1,26	4,59	0,00	0,00	0,00	0,0	0,0
Sn17/N308	LC4	0,02	3,88	14,15	0,00	0,00	0,00	0,0	0,0
Sn18/N310	LC4	-0,81	-4,40	14,69	0,00	0,00	0,02	0,0	0,0
Sn19/N333	LC4	0,01	4,07	15,08	0,00	0,00	0,00	0,0	0,0
Sn20/N335	LC4	0,00	-4,79	16,39	0,00	0,00	0,00	0,0	0,0
Sn38/N391	LC4	0,06	0,01	-0,01	0,00	0,00	0,00	0,0	0,0
Sn37/N393	LC4	0,02	-0,03	0,08	0,00	0,00	0,00	0,0	0,0
Sn25/N423	LC4	-0,31	-0,02	0,04	0,00	0,00	0,00	0,0	0,0
Sn26/N424	LC4	-0,06	-0,02	0,05	0,00	0,00	0,00	0,0	0,0
Sn27/N418	LC4	-0,07	-0,02	0,05	0,00	0,00	0,00	0,0	0,0
Sn28/N419	LC4	-0,05	-0,02	0,05	0,00	0,00	0,00	0,0	0,0
Sn29/N413	LC4	-0,05	-0,02	0,05	0,00	0,00	0,00	0,0	0,0
Sn30/N414	LC4	-0,03	-0,02	0,05	0,00	0,00	0,00	0,0	0,0
Sn31/N408	LC4	-0,03	-0,02	0,05	0,00	0,00	0,00	0,0	0,0
Sn32/N409	LC4	-0,01	-0,02	0,05	0,00	0,00	0,00	0,0	0,0
Sn33/N403	LC4	-0,01	-0,02	0,05	0,00	0,00	0,00	0,0	0,0
Sn34/N404	LC4	0,00	-0,02	0,04	0,00	0,00	0,00	0,0	0,0
Sn35/N398	LC4	0,00	-0,02	0,04	0,00	0,00	0,00	0,0	0,0
Sn36/N399	LC4	0,02	-0,02	0,05	0,00	0,00	0,00	0,0	0,0

## LC5-sníh II - Reakce Rz

Values:  $R_z$ 

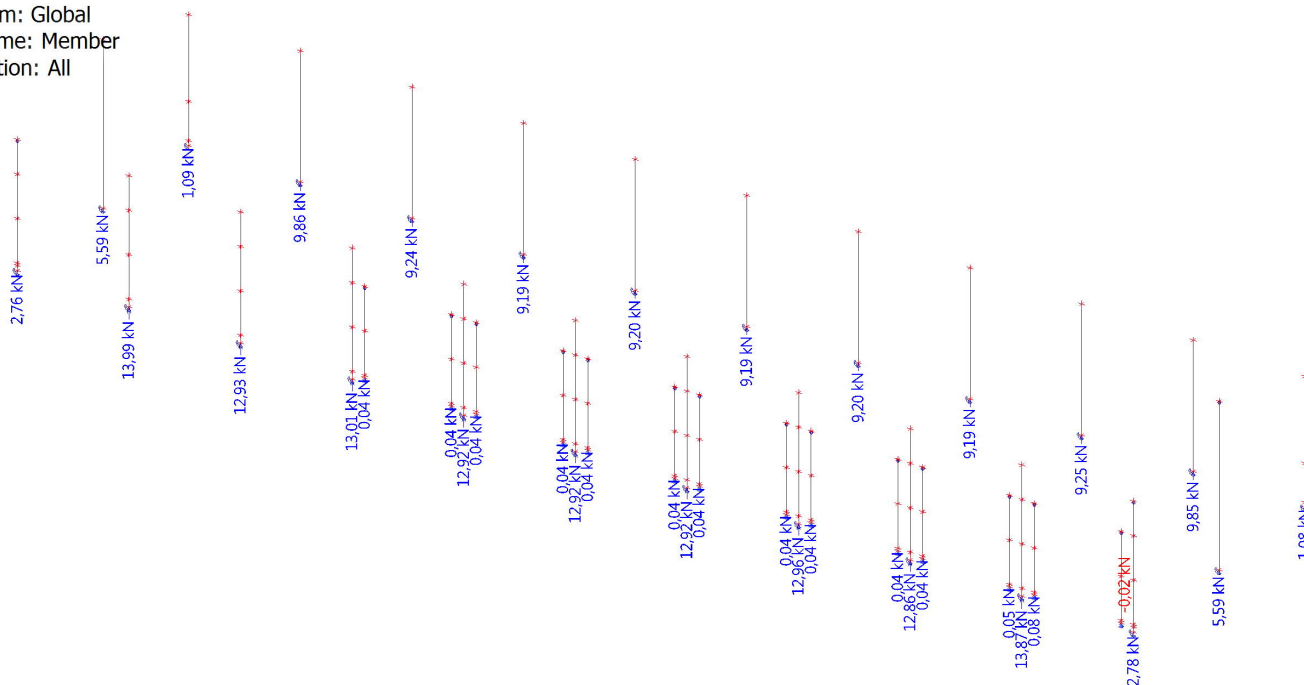
Linear calculation

Load case: LC5

System: Global

Extreme: Member

Selection: All



## Reakce od LC5

Linear calculation

Load case: LC5

System: Global

Extreme: Member

Selection: All

Nodal reactions

Name	Case	R <sub>x</sub> [kN]	R <sub>y</sub> [kN]	R <sub>z</sub> [kN]	M <sub>x</sub> [kNm]	M <sub>y</sub> [kNm]	M <sub>z</sub> [kNm]	e <sub>x</sub> [mm]	e <sub>y</sub> [mm]
Sn1/N1	LC5	0,00	0,31	2,76	0,00	0,00	0,00	0,0	0,0
Sn2/N3	LC5	0,00	-0,06	1,09	0,00	0,00	0,00	0,0	0,0
Sn3/N7	LC5	0,00	3,38	13,99	0,00	0,00	0,00	0,0	0,0
Sn4/N9	LC5	0,00	-3,33	9,86	0,00	0,00	0,00	0,0	0,0
Sn5/N13	LC5	0,75	3,15	12,93	0,00	0,00	0,02	0,0	0,0
Sn6/N15	LC5	0,55	-3,17	9,24	0,00	0,00	-0,02	0,0	0,0
Sn7/N19	LC5	-0,74	3,17	13,01	0,00	0,00	-0,02	0,0	0,0
Sn8/N21	LC5	-0,52	-3,15	9,19	0,00	0,00	0,02	0,0	0,0
Sn9/N25	LC5	0,00	3,18	12,92	0,00	0,00	0,00	0,0	0,0
Sn10/N27	LC5	0,00	-3,15	9,20	0,00	0,00	0,00	0,0	0,0
Sn11/N31	LC5	0,00	3,18	12,92	0,00	0,00	0,00	0,0	0,0
Sn12/N33	LC5	0,00	-3,14	9,19	0,00	0,00	0,00	0,0	0,0
Sn13/N37	LC5	0,00	3,18	12,92	0,00	0,00	0,00	0,0	0,0
Sn14/N39	LC5	0,00	-3,15	9,20	0,00	0,00	0,00	0,0	0,0
Sn15/N43	LC5	0,00	3,19	12,96	0,00	0,00	0,00	0,0	0,0
Sn16/N45	LC5	0,52	-3,15	9,19	0,00	0,00	-0,02	0,0	0,0
Sn21/N49	LC5	0,00	0,32	2,78	0,00	0,00	0,00	0,0	0,0
Sn22/N51	LC5	0,00	-0,06	1,08	0,00	0,00	0,00	0,0	0,0
Sn23/N55	LC5	0,00	-0,27	5,59	0,00	0,00	0,00	0,0	0,0

Name	Case	R <sub>x</sub> [kN]	R <sub>y</sub> [kN]	R <sub>z</sub> [kN]	M <sub>x</sub> [kNm]	M <sub>y</sub> [kNm]	M <sub>z</sub> [kNm]	e <sub>x</sub> [mm]	e <sub>y</sub> [mm]
Sn24/N56	LC5	0,00	-0,27	5,59	0,00	0,00	0,00	0,0	0,0
Sn17/N308	LC5	0,00	3,18	12,86	0,00	0,00	0,00	0,0	0,0
Sn18/N310	LC5	-0,55	-3,18	9,25	0,00	0,00	0,02	0,0	0,0
Sn19/N333	LC5	0,00	3,41	13,87	0,00	0,00	0,00	0,0	0,0
Sn20/N335	LC5	0,00	-3,33	9,85	0,00	0,00	0,00	0,0	0,0
Sn38/N391	LC5	0,01	0,01	-0,02	0,00	0,00	0,00	0,0	0,0
Sn37/N393	LC5	0,00	-0,03	0,08	0,00	0,00	0,00	0,0	0,0
Sn25/N423	LC5	-0,01	-0,02	0,04	0,00	0,00	0,00	0,0	0,0
Sn26/N424	LC5	0,00	-0,02	0,04	0,00	0,00	0,00	0,0	0,0
Sn27/N418	LC5	0,00	-0,02	0,04	0,00	0,00	0,00	0,0	0,0
Sn28/N419	LC5	0,00	-0,02	0,04	0,00	0,00	0,00	0,0	0,0
Sn29/N413	LC5	0,00	-0,02	0,04	0,00	0,00	0,00	0,0	0,0
Sn30/N414	LC5	0,00	-0,02	0,04	0,00	0,00	0,00	0,0	0,0
Sn31/N408	LC5	0,00	-0,02	0,04	0,00	0,00	0,00	0,0	0,0
Sn32/N409	LC5	0,00	-0,02	0,04	0,00	0,00	0,00	0,0	0,0
Sn33/N403	LC5	0,00	-0,02	0,04	0,00	0,00	0,00	0,0	0,0
Sn34/N404	LC5	0,00	-0,02	0,04	0,00	0,00	0,00	0,0	0,0
Sn35/N398	LC5	0,00	-0,02	0,04	0,00	0,00	0,00	0,0	0,0
Sn36/N399	LC5	0,00	-0,02	0,05	0,00	0,00	0,00	0,0	0,0

## LC6-sníh III - Reakce Rz

Values: **Rz**

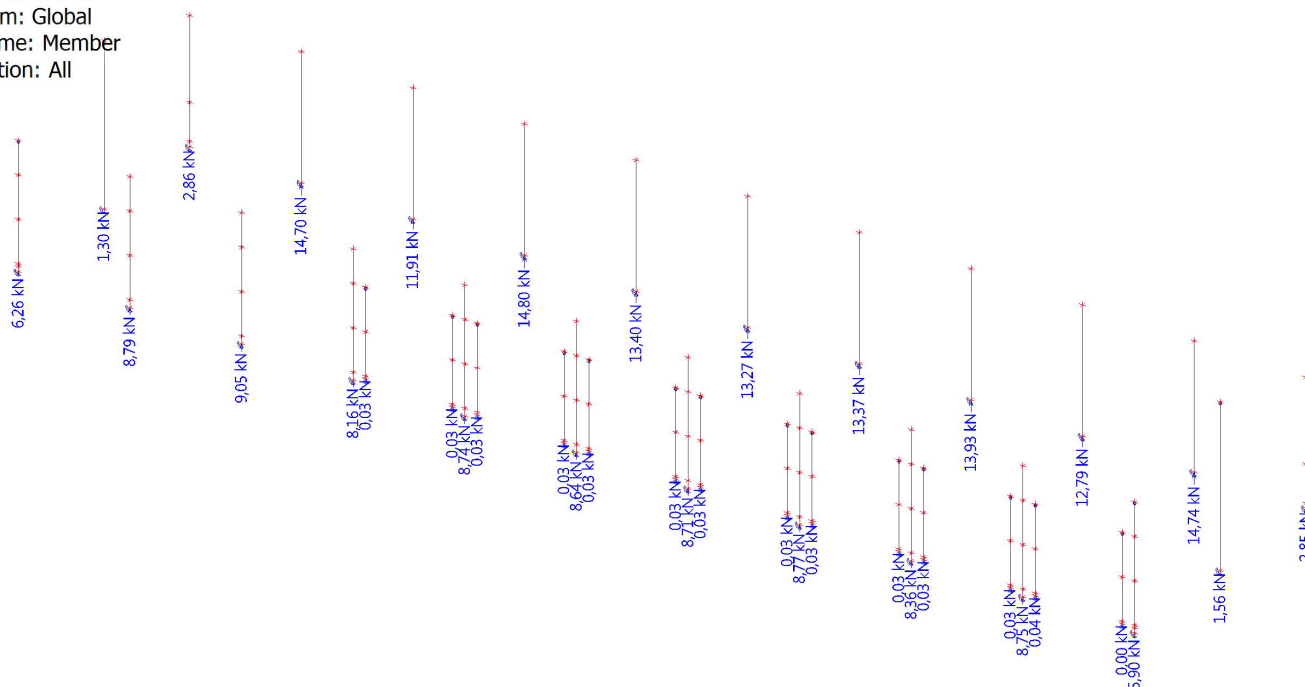
Linear calculation

Load case: LC6

System: Global

Extreme: Member

Selection: All



## Reakce od LC6

Linear calculation

Load case: LC6

System: Global

Extreme: Member

Selection: All

Nodal reactions

Name	Case	R <sub>x</sub> [kN]	R <sub>y</sub> [kN]	R <sub>z</sub> [kN]	M <sub>x</sub> [kNm]	M <sub>y</sub> [kNm]	M <sub>z</sub> [kNm]	e <sub>x</sub> [mm]	e <sub>y</sub> [mm]
Sn1/N1	LC6	0,01	1,94	6,26	0,00	0,00	0,00	0,0	0,0
Sn2/N3	LC6	0,00	-0,24	2,86	0,00	0,00	0,00	0,0	0,0
Sn3/N7	LC6	0,01	2,66	8,79	0,00	0,00	0,00	0,0	0,0
Sn4/N9	LC6	0,00	-3,84	14,70	0,00	0,00	0,00	0,0	0,0
Sn5/N13	LC6	0,38	2,56	9,05	0,00	0,00	0,01	0,0	0,0
Sn6/N15	LC6	0,33	-3,34	11,91	0,00	0,00	-0,02	0,0	0,0
Sn7/N19	LC6	0,54	2,88	8,16	0,00	0,00	-0,01	0,0	0,0
Sn8/N21	LC6	-1,24	-3,66	14,80	0,00	0,00	0,02	0,0	0,0
Sn9/N25	LC6	0,17	2,84	8,74	0,00	0,00	0,00	0,0	0,0
Sn10/N27	LC6	0,00	-3,47	13,40	0,00	0,00	0,00	0,0	0,0
Sn11/N31	LC6	0,13	2,81	8,64	0,00	0,00	0,00	0,0	0,0
Sn12/N33	LC6	0,00	-3,40	13,27	0,00	0,00	0,00	0,0	0,0
Sn13/N37	LC6	0,10	2,83	8,71	0,00	0,00	0,00	0,0	0,0
Sn14/N39	LC6	0,00	-3,45	13,37	0,00	0,00	0,00	0,0	0,0
Sn15/N43	LC6	0,07	2,84	8,77	0,00	0,00	0,00	0,0	0,0
Sn16/N45	LC6	0,92	-3,58	13,93	0,00	0,00	-0,02	0,0	0,0
Sn21/N49	LC6	-0,02	1,82	5,90	0,00	0,00	0,00	0,0	0,0
Sn22/N51	LC6	0,00	-0,24	2,85	0,00	0,00	0,00	0,0	0,0
Sn23/N55	LC6	0,00	1,99	1,56	0,00	0,00	0,00	0,0	0,0

Name	Case	R <sub>x</sub> [kN]	R <sub>y</sub> [kN]	R <sub>z</sub> [kN]	M <sub>x</sub> [kNm]	M <sub>y</sub> [kNm]	M <sub>z</sub> [kNm]	e <sub>x</sub> [mm]	e <sub>y</sub> [mm]
Sn24/N56	LC6	0,00	2,15	1,30	0,00	0,00	0,00	0,0	0,0
Sn17/N308	LC6	0,03	2,63	8,36	0,00	0,00	0,00	0,0	0,0
Sn18/N310	LC6	-0,66	-3,42	12,79	0,00	0,00	0,02	0,0	0,0
Sn19/N333	LC6	0,01	2,69	8,75	0,00	0,00	0,00	0,0	0,0
Sn20/N335	LC6	0,00	-3,86	14,74	0,00	0,00	0,00	0,0	0,0
Sn38/N391	LC6	0,08	0,01	0,00	0,00	0,00	0,00	0,0	0,0
Sn37/N393	LC6	0,02	-0,02	0,04	0,00	0,00	0,00	0,0	0,0
Sn25/N423	LC6	-0,46	-0,01	0,03	0,00	0,00	0,00	0,0	0,0
Sn26/N424	LC6	-0,10	-0,01	0,03	0,00	0,00	0,00	0,0	0,0
Sn27/N418	LC6	-0,10	-0,01	0,03	0,00	0,00	0,00	0,0	0,0
Sn28/N419	LC6	-0,07	-0,01	0,03	0,00	0,00	0,00	0,0	0,0
Sn29/N413	LC6	-0,07	-0,01	0,03	0,00	0,00	0,00	0,0	0,0
Sn30/N414	LC6	-0,04	-0,01	0,03	0,00	0,00	0,00	0,0	0,0
Sn31/N408	LC6	-0,05	-0,01	0,03	0,00	0,00	0,00	0,0	0,0
Sn32/N409	LC6	-0,02	-0,01	0,03	0,00	0,00	0,00	0,0	0,0
Sn33/N403	LC6	-0,02	-0,02	0,03	0,00	0,00	0,00	0,0	0,0
Sn34/N404	LC6	0,01	-0,01	0,03	0,00	0,00	0,00	0,0	0,0
Sn35/N398	LC6	0,00	-0,02	0,03	0,00	0,00	0,00	0,0	0,0
Sn36/N399	LC6	0,03	-0,01	0,03	0,00	0,00	0,00	0,0	0,0

## LC7-vítr směr +x - Reakce Rz

Values: **R<sub>z</sub>**

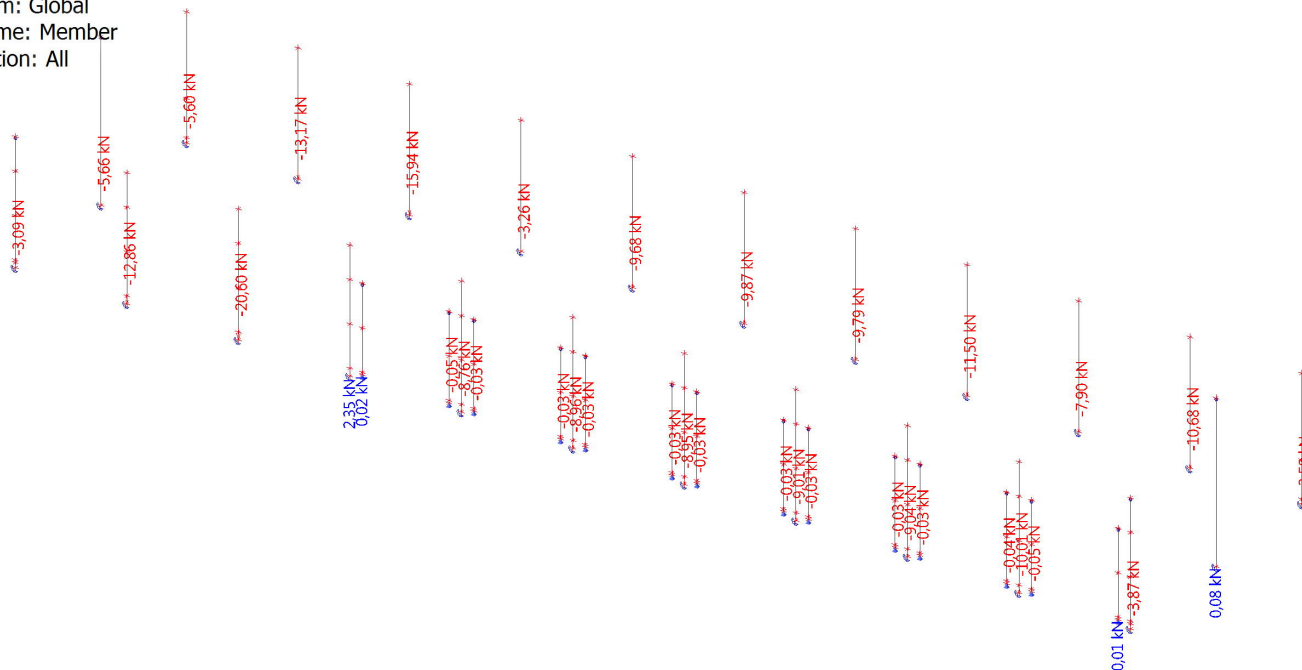
Linear calculation

Load case: LC7

System: Global

Extreme: Member

Selection: All



## Reakce od LC7

Linear calculation

Load case: LC7

System: Global

Extreme: Member

Selection: All

Nodal reactions

Name	Case	R <sub>x</sub> [kN]	R <sub>y</sub> [kN]	R <sub>z</sub> [kN]	M <sub>x</sub> [kNm]	M <sub>y</sub> [kNm]	M <sub>z</sub> [kNm]	e <sub>x</sub> [mm]	e <sub>y</sub> [mm]
Sn1/N1	LC7	-0,06	4,60	-3,09	0,00	0,00	0,02	0,0	0,0
Sn2/N3	LC7	-3,41	-1,56	-5,60	0,00	0,00	0,00	0,0	0,0
Sn3/N7	LC7	-0,37	4,55	-12,86	0,00	0,00	0,01	0,0	0,0
Sn4/N9	LC7	0,00	-0,07	-13,17	0,00	0,00	0,00	0,0	0,0
Sn5/N13	LC7	-5,57	4,58	-20,60	0,00	0,00	0,02	0,0	0,0
Sn6/N15	LC7	-2,89	-0,65	-15,94	0,00	0,00	0,00	0,0	0,0
Sn7/N19	LC7	-2,70	1,44	2,35	0,00	0,00	0,02	0,0	0,0
Sn8/N21	LC7	-2,26	0,12	-3,26	0,00	0,00	-0,01	0,0	0,0
Sn9/N25	LC7	1,09	-0,66	-8,76	0,00	0,00	0,01	0,0	0,0
Sn10/N27	LC7	0,00	0,50	-9,68	0,00	0,00	0,00	0,0	0,0
Sn11/N31	LC7	1,00	-0,73	-8,96	0,00	0,00	0,01	0,0	0,0
Sn12/N33	LC7	0,00	0,57	-9,87	0,00	0,00	0,00	0,0	0,0
Sn13/N37	LC7	0,93	-0,74	-8,95	0,00	0,00	0,00	0,0	0,0
Sn14/N39	LC7	0,00	0,53	-9,79	0,00	0,00	0,00	0,0	0,0
Sn15/N43	LC7	0,87	-0,78	-9,01	0,00	0,00	0,00	0,0	0,0
Sn16/N45	LC7	-1,26	0,49	-11,50	0,00	0,00	0,01	0,0	0,0
Sn21/N49	LC7	0,68	-0,26	-3,87	0,00	0,00	-0,01	0,0	0,0
Sn22/N51	LC7	0,00	-1,38	-3,58	0,00	0,00	0,00	0,0	0,0
Sn23/N55	LC7	0,00	-0,34	0,08	0,00	0,00	0,00	0,0	0,0



Name	Case	R <sub>x</sub> [kN]	R <sub>y</sub> [kN]	R <sub>z</sub> [kN]	M <sub>x</sub> [kNm]	M <sub>y</sub> [kNm]	M <sub>z</sub> [kNm]	e <sub>x</sub> [mm]	e <sub>y</sub> [mm]
Sn24/N56	LC7	-8,94	1,47	-5,66	0,00	0,00	0,00	0,0	0,0
Sn17/N308	LC7	0,83	-0,84	-9,04	0,00	0,00	0,00	0,0	0,0
Sn18/N310	LC7	-0,29	0,46	-7,90	0,00	0,00	-0,01	0,0	0,0
Sn19/N333	LC7	0,80	-1,14	-10,01	0,00	0,00	0,00	0,0	0,0
Sn20/N335	LC7	0,00	0,67	-10,68	0,00	0,00	0,00	0,0	0,0
Sn38/N391	LC7	-0,77	1,65	0,01	0,00	0,00	0,00	0,0	0,0
Sn37/N393	LC7	-0,46	1,69	-0,05	0,00	0,00	0,00	0,0	0,0
Sn25/N423	LC7	-3,91	1,68	0,02	0,00	0,00	0,00	0,0	0,0
Sn26/N424	LC7	-0,66	1,68	-0,05	0,00	0,00	0,00	0,0	0,0
Sn27/N418	LC7	-0,65	1,68	-0,03	0,00	0,00	0,00	0,0	0,0
Sn28/N419	LC7	-0,59	1,68	-0,03	0,00	0,00	0,00	0,0	0,0
Sn29/N413	LC7	-0,59	1,68	-0,03	0,00	0,00	0,00	0,0	0,0
Sn30/N414	LC7	-0,54	1,68	-0,03	0,00	0,00	0,00	0,0	0,0
Sn31/N408	LC7	-0,54	1,68	-0,03	0,00	0,00	0,00	0,0	0,0
Sn32/N409	LC7	-0,50	1,68	-0,03	0,00	0,00	0,00	0,0	0,0
Sn33/N403	LC7	-0,50	1,68	-0,03	0,00	0,00	0,00	0,0	0,0
Sn34/N404	LC7	-0,48	1,68	-0,03	0,00	0,00	0,00	0,0	0,0
Sn35/N398	LC7	-0,47	1,68	-0,03	0,00	0,00	0,00	0,0	0,0
Sn36/N399	LC7	-0,46	1,69	-0,04	0,00	0,00	0,00	0,0	0,0

## LC8-vítr směr +y (dolů) - Reakce Rz

Values: **R<sub>z</sub>**

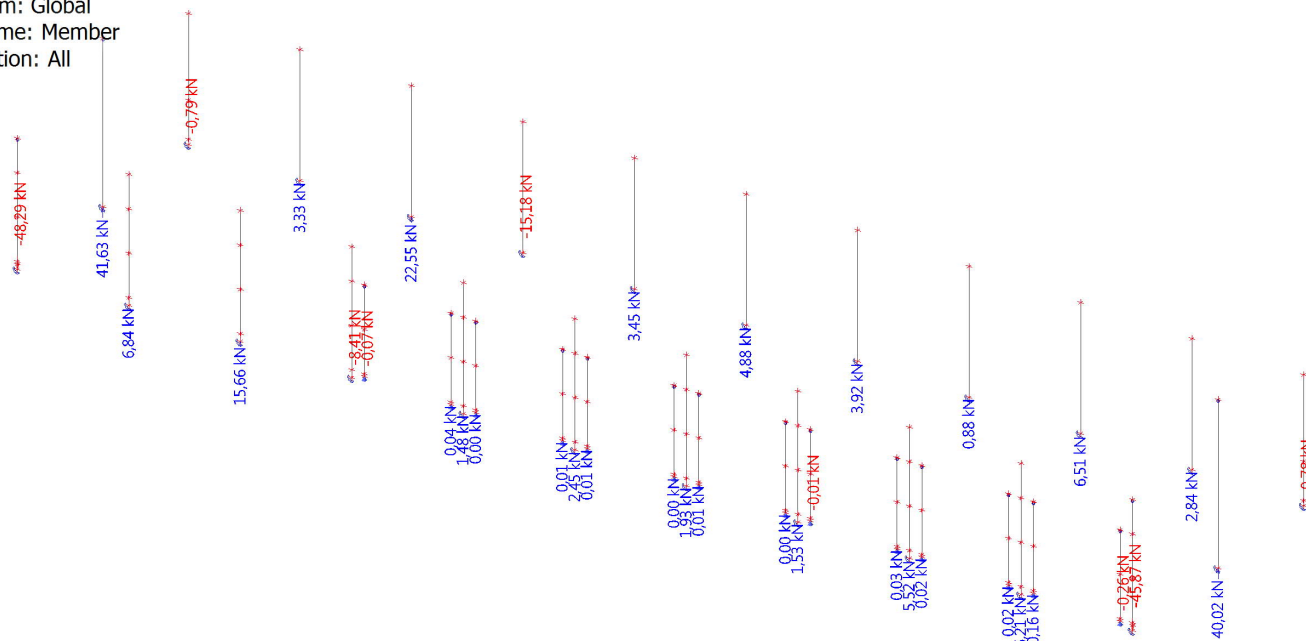
Linear calculation

Load case: LC8

System: Global

Extreme: Member

Selection: All



## Reakce od LC8

Linear calculation

Load case: LC8

System: Global

Extreme: Member

Selection: All

Nodal reactions

Name	Case	R <sub>x</sub> [kN]	R <sub>y</sub> [kN]	R <sub>z</sub> [kN]	M <sub>x</sub> [kNm]	M <sub>y</sub> [kNm]	M <sub>z</sub> [kNm]	e <sub>x</sub> [mm]	e <sub>y</sub> [mm]
Sn1/N1	LC8	0,06	-19,85	-48,29	0,00	0,00	-0,01	0,0	0,0
Sn2/N3	LC8	3,90	-0,64	-0,79	0,00	0,00	0,01	0,0	0,0
Sn3/N7	LC8	0,53	-5,74	6,84	0,00	0,00	-0,01	0,0	0,0
Sn4/N9	LC8	0,00	-4,11	3,33	0,00	0,00	0,00	0,0	0,0
Sn5/N13	LC8	8,12	-5,93	15,66	0,00	0,00	-0,05	0,0	0,0
Sn6/N15	LC8	6,76	-6,45	22,55	0,00	0,00	-0,01	0,0	0,0
Sn7/N19	LC8	-4,99	-6,89	-8,41	0,00	0,00	-0,02	0,0	0,0
Sn8/N21	LC8	7,07	-3,27	-15,18	0,00	0,00	0,03	0,0	0,0
Sn9/N25	LC8	-3,25	-4,00	1,48	0,00	0,00	-0,01	0,0	0,0
Sn10/N27	LC8	0,00	-5,11	3,45	0,00	0,00	0,00	0,0	0,0
Sn11/N31	LC8	-2,80	-3,74	2,45	0,00	0,00	-0,01	0,0	0,0
Sn12/N33	LC8	0,00	-5,78	4,88	0,00	0,00	0,00	0,0	0,0
Sn13/N37	LC8	-2,37	-3,84	1,93	0,00	0,00	0,00	0,0	0,0
Sn14/N39	LC8	0,00	-5,31	3,92	0,00	0,00	0,00	0,0	0,0
Sn15/N43	LC8	-1,99	-3,87	1,53	0,00	0,00	0,00	0,0	0,0
Sn16/N45	LC8	-0,51	-4,20	0,88	0,00	0,00	-0,02	0,0	0,0
Sn21/N49	LC8	-0,95	-16,74	-45,87	0,00	0,00	0,01	0,0	0,0
Sn22/N51	LC8	0,00	-0,64	-0,78	0,00	0,00	0,00	0,0	0,0
Sn23/N55	LC8	-0,01	-22,52	40,02	0,00	0,00	0,01	0,0	0,0

Name	Case	R <sub>x</sub> [kN]	R <sub>y</sub> [kN]	R <sub>z</sub> [kN]	M <sub>x</sub> [kNm]	M <sub>y</sub> [kNm]	M <sub>z</sub> [kNm]	e <sub>x</sub> [mm]	e <sub>y</sub> [mm]
Sn24/N56	LC8	10,23	-23,57	41,63	0,00	0,00	-0,01	0,0	0,0
Sn17/N308	LC8	-1,65	-1,78	5,52	0,00	0,00	0,00	0,0	0,0
Sn18/N310	LC8	-0,58	-5,51	6,51	0,00	0,00	0,02	0,0	0,0
Sn19/N333	LC8	-1,39	-1,12	6,21	0,00	0,00	0,00	0,0	0,0
Sn20/N335	LC8	0,00	-3,90	2,84	0,00	0,00	0,00	0,0	0,0
Sn38/N391	LC8	0,60	-2,49	-0,26	0,00	0,00	0,00	0,0	0,0
Sn37/N393	LC8	0,54	-2,49	0,16	0,00	0,00	0,00	0,0	0,0
Sn25/N423	LC8	10,48	-2,51	-0,07	0,00	0,00	0,00	0,0	0,0
Sn26/N424	LC8	1,93	-2,50	0,04	0,00	0,00	0,00	0,0	0,0
Sn27/N418	LC8	1,94	-2,51	0,00	0,00	0,00	0,00	0,0	0,0
Sn28/N419	LC8	1,59	-2,51	0,01	0,00	0,00	0,00	0,0	0,0
Sn29/N413	LC8	1,60	-2,51	0,01	0,00	0,00	0,00	0,0	0,0
Sn30/N414	LC8	1,27	-2,51	0,00	0,00	0,00	0,00	0,0	0,0
Sn31/N408	LC8	1,28	-2,50	0,01	0,00	0,00	0,00	0,0	0,0
Sn32/N409	LC8	0,99	-2,52	0,00	0,00	0,00	0,00	0,0	0,0
Sn33/N403	LC8	0,99	-2,49	-0,01	0,00	0,00	0,00	0,0	0,0
Sn34/N404	LC8	0,73	-2,53	0,03	0,00	0,00	0,00	0,0	0,0
Sn35/N398	LC8	0,74	-2,49	0,02	0,00	0,00	0,00	0,0	0,0
Sn36/N399	LC8	0,53	-2,53	0,02	0,00	0,00	0,00	0,0	0,0

## LC9-vítr směr +y (nahoru) - Reakce Rz

Values: **R<sub>z</sub>**

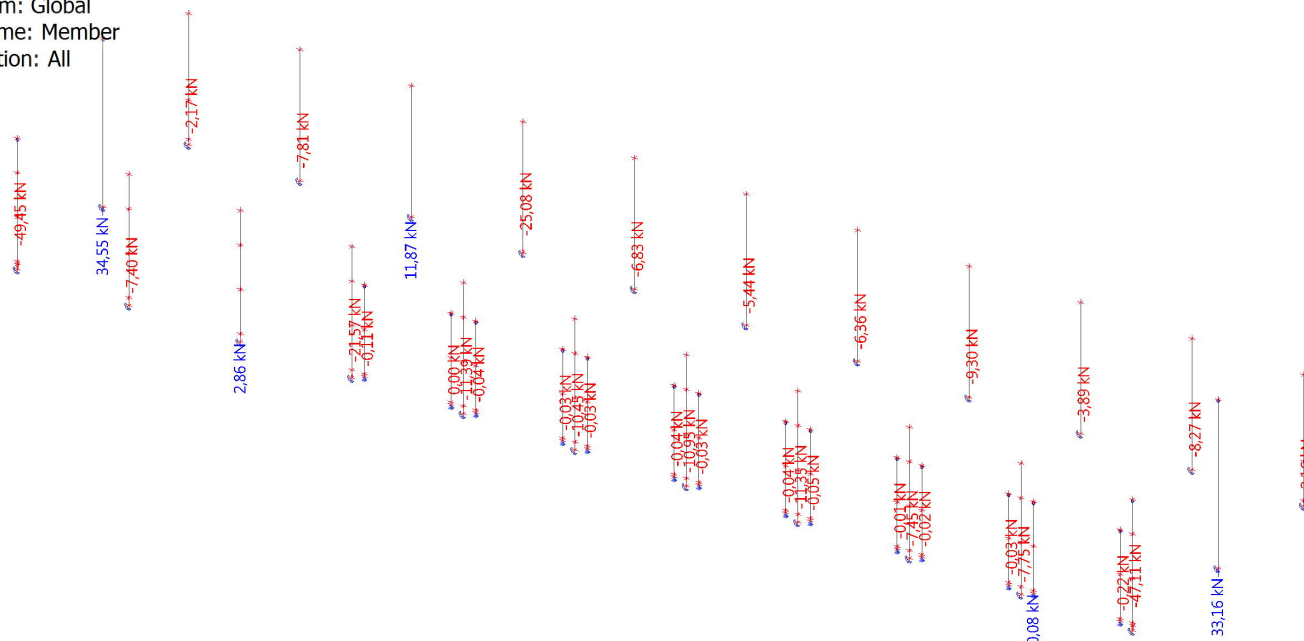
Linear calculation

Load case: LC9

System: Global

Extreme: Member

Selection: All



## Reakce od LC9

Linear calculation

Load case: LC9

System: Global

Extreme: Member

Selection: All

Nodal reactions

Name	Case	R <sub>x</sub> [kN]	R <sub>y</sub> [kN]	R <sub>z</sub> [kN]	M <sub>x</sub> [kNm]	M <sub>y</sub> [kNm]	M <sub>z</sub> [kNm]	e <sub>x</sub> [mm]	e <sub>y</sub> [mm]
Sn1/N1	LC9	0,07	-19,56	-49,45	0,00	0,00	-0,02	0,0	0,0
Sn2/N3	LC9	3,90	-0,53	-2,17	0,00	0,00	0,01	0,0	0,0
Sn3/N7	LC9	0,53	-8,99	-7,40	0,00	0,00	-0,01	0,0	0,0
Sn4/N9	LC9	0,00	-0,40	-7,81	0,00	0,00	0,00	0,0	0,0
Sn5/N13	LC9	7,33	-8,92	2,86	0,00	0,00	-0,06	0,0	0,0
Sn6/N15	LC9	6,03	-2,89	11,87	0,00	0,00	0,00	0,0	0,0
Sn7/N19	LC9	-3,91	-9,80	-21,57	0,00	0,00	0,00	0,0	0,0
Sn8/N21	LC9	7,54	0,18	-25,08	0,00	0,00	0,01	0,0	0,0
Sn9/N25	LC9	-3,20	-6,93	-11,39	0,00	0,00	-0,01	0,0	0,0
Sn10/N27	LC9	0,00	-1,61	-6,83	0,00	0,00	0,00	0,0	0,0
Sn11/N31	LC9	-2,76	-6,67	-10,45	0,00	0,00	0,00	0,0	0,0
Sn12/N33	LC9	0,00	-2,26	-5,44	0,00	0,00	0,00	0,0	0,0
Sn13/N37	LC9	-2,34	-6,77	-10,95	0,00	0,00	0,00	0,0	0,0
Sn14/N39	LC9	0,00	-1,81	-6,36	0,00	0,00	0,00	0,0	0,0
Sn15/N43	LC9	-1,97	-6,80	-11,35	0,00	0,00	0,00	0,0	0,0
Sn16/N45	LC9	-1,08	-0,73	-9,30	0,00	0,00	0,00	0,0	0,0
Sn21/N49	LC9	-0,98	-16,53	-47,11	0,00	0,00	0,02	0,0	0,0
Sn22/N51	LC9	0,00	-0,53	-2,16	0,00	0,00	0,00	0,0	0,0
Sn23/N55	LC9	-0,01	-21,42	33,16	0,00	0,00	0,01	0,0	0,0

Name	Case	R <sub>x</sub> [kN]	R <sub>y</sub> [kN]	R <sub>z</sub> [kN]	M <sub>x</sub> [kNm]	M <sub>y</sub> [kNm]	M <sub>z</sub> [kNm]	e <sub>x</sub> [mm]	e <sub>y</sub> [mm]
Sn24/N56	LC9	10,23	-22,35	34,55	0,00	0,00	-0,01	0,0	0,0
Sn17/N308	LC9	-1,64	-4,79	-7,45	0,00	0,00	0,00	0,0	0,0
Sn18/N310	LC9	0,04	-1,97	-3,89	0,00	0,00	0,00	0,0	0,0
Sn19/N333	LC9	-1,39	-4,39	-7,75	0,00	0,00	0,00	0,0	0,0
Sn20/N335	LC9	0,00	-0,19	-8,27	0,00	0,00	0,00	0,0	0,0
Sn38/N391	LC9	0,64	-2,49	-0,22	0,00	0,00	0,00	0,0	0,0
Sn37/N393	LC9	0,55	-2,46	0,08	0,00	0,00	0,00	0,0	0,0
Sn25/N423	LC9	10,34	-2,49	-0,11	0,00	0,00	0,00	0,0	0,0
Sn26/N424	LC9	1,90	-2,48	0,00	0,00	0,00	0,00	0,0	0,0
Sn27/N418	LC9	1,91	-2,49	-0,04	0,00	0,00	0,00	0,0	0,0
Sn28/N419	LC9	1,57	-2,49	-0,03	0,00	0,00	0,00	0,0	0,0
Sn29/N413	LC9	1,58	-2,49	-0,03	0,00	0,00	0,00	0,0	0,0
Sn30/N414	LC9	1,26	-2,49	-0,04	0,00	0,00	0,00	0,0	0,0
Sn31/N408	LC9	1,27	-2,48	-0,03	0,00	0,00	0,00	0,0	0,0
Sn32/N409	LC9	0,98	-2,50	-0,04	0,00	0,00	0,00	0,0	0,0
Sn33/N403	LC9	0,99	-2,47	-0,05	0,00	0,00	0,00	0,0	0,0
Sn34/N404	LC9	0,73	-2,51	-0,01	0,00	0,00	0,00	0,0	0,0
Sn35/N398	LC9	0,74	-2,47	-0,02	0,00	0,00	0,00	0,0	0,0
Sn36/N399	LC9	0,54	-2,51	-0,03	0,00	0,00	0,00	0,0	0,0

## LC10-teplota + - Reakce Rz

Values: **R<sub>z</sub>**

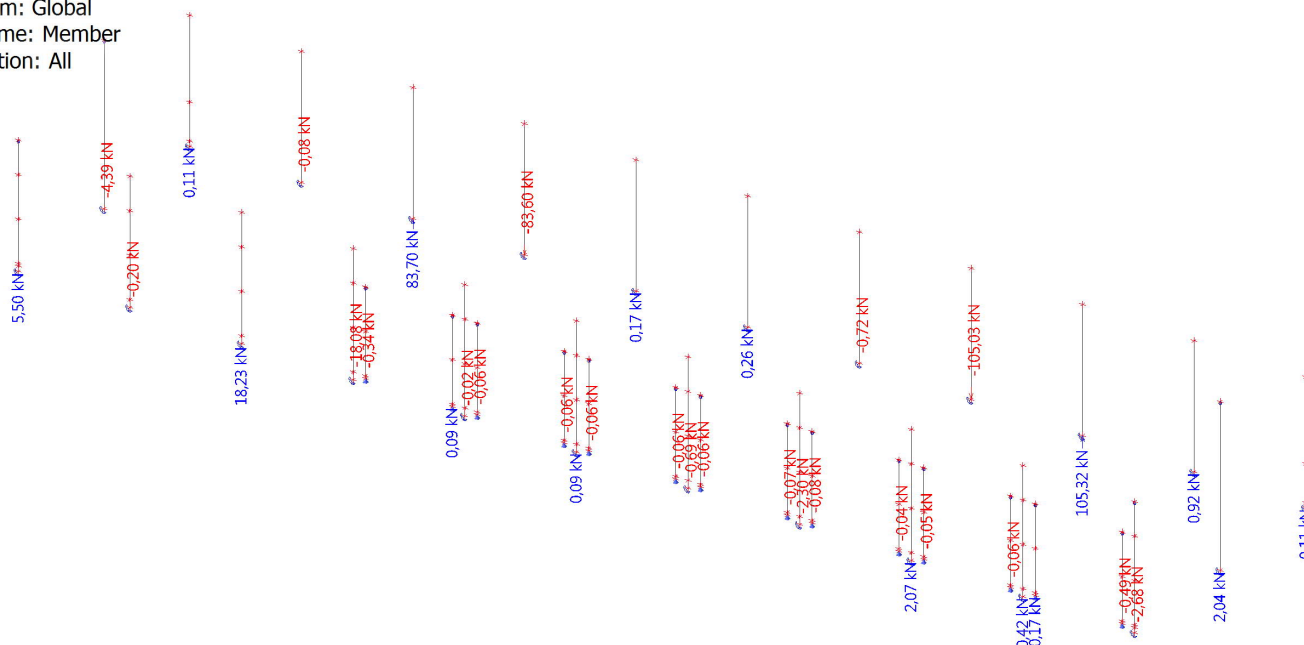
Linear calculation

Load case: LC10

System: Global

Extreme: Member

Selection: All



## Reakce od LC10

Linear calculation

Load case: LC10

System: Global

Extreme: Member

Selection: All

Nodal reactions

Name	Case	R <sub>x</sub> [kN]	R <sub>y</sub> [kN]	R <sub>z</sub> [kN]	M <sub>x</sub> [kNm]	M <sub>y</sub> [kNm]	M <sub>z</sub> [kNm]	e <sub>x</sub> [mm]	e <sub>y</sub> [mm]
Sn1/N1	LC10	-0,16	38,97	5,50	0,00	0,00	0,01	0,0	0,0
Sn2/N3	LC10	0,00	-0,08	0,11	0,00	0,00	0,00	0,0	0,0
Sn3/N7	LC10	0,51	-0,02	-0,20	0,00	0,00	0,01	0,0	0,0
Sn4/N9	LC10	0,00	-0,04	-0,08	0,00	0,00	0,00	0,0	0,0
Sn5/N13	LC10	40,78	-0,20	18,23	0,00	0,00	0,01	0,0	0,0
Sn6/N15	LC10	71,11	0,27	83,70	0,00	0,00	0,00	0,0	0,0
Sn7/N19	LC10	-17,46	0,23	-18,08	0,00	0,00	0,01	0,0	0,0
Sn8/N21	LC10	4,58	-0,49	-83,60	0,00	0,00	0,00	0,0	0,0
Sn9/N25	LC10	3,89	-0,01	-0,02	0,00	0,00	0,00	0,0	0,0
Sn10/N27	LC10	0,00	-0,20	0,17	0,00	0,00	0,00	0,0	0,0
Sn11/N31	LC10	3,21	0,00	0,09	0,00	0,00	0,00	0,0	0,0
Sn12/N33	LC10	0,00	-0,21	0,26	0,00	0,00	0,00	0,0	0,0
Sn13/N37	LC10	2,51	-0,28	-0,69	0,00	0,00	0,00	0,0	0,0
Sn14/N39	LC10	0,00	0,17	-0,72	0,00	0,00	0,00	0,0	0,0
Sn15/N43	LC10	1,75	-1,07	-2,30	0,00	0,00	0,00	0,0	0,0
Sn16/N45	LC10	-12,65	1,22	-105,03	0,00	0,00	-0,01	0,0	0,0
Sn21/N49	LC10	-1,27	36,08	-2,68	0,00	0,00	-0,02	0,0	0,0
Sn22/N51	LC10	0,00	-0,09	0,11	0,00	0,00	0,00	0,0	0,0
Sn23/N55	LC10	0,01	-38,56	2,04	0,00	0,00	0,00	0,0	0,0

Name	Case	R <sub>x</sub> [kN]	R <sub>y</sub> [kN]	R <sub>z</sub> [kN]	M <sub>x</sub> [kNm]	M <sub>y</sub> [kNm]	M <sub>z</sub> [kNm]	e <sub>x</sub> [mm]	e <sub>y</sub> [mm]
Sn24/N56	LC10	0,00	-34,57	-4,39	0,00	0,00	0,00	0,0	0,0
Sn17/N308	LC10	0,96	0,86	2,07	0,00	0,00	-0,01	0,0	0,0
Sn18/N310	LC10	-79,19	-1,60	105,32	0,00	0,00	-0,01	0,0	0,0
Sn19/N333	LC10	0,07	0,14	0,42	0,00	0,00	-0,01	0,0	0,0
Sn20/N335	LC10	0,00	-0,51	0,92	0,00	0,00	0,00	0,0	0,0
Sn38/N391	LC10	3,28	0,00	-0,49	0,00	0,00	0,00	0,0	0,0
Sn37/N393	LC10	0,73	0,00	0,17	0,00	0,00	0,00	0,0	0,0
Sn25/N423	LC10	-12,15	0,00	-0,34	0,00	0,00	0,00	0,0	0,0
Sn26/N424	LC10	-2,24	0,00	0,09	0,00	0,00	0,00	0,0	0,0
Sn27/N418	LC10	-2,28	0,00	-0,06	0,00	0,00	0,00	0,0	0,0
Sn28/N419	LC10	-1,70	0,00	-0,06	0,00	0,00	0,00	0,0	0,0
Sn29/N413	LC10	-1,74	0,00	-0,06	0,00	0,00	0,00	0,0	0,0
Sn30/N414	LC10	-1,14	0,00	-0,06	0,00	0,00	0,00	0,0	0,0
Sn31/N408	LC10	-1,18	0,00	-0,06	0,00	0,00	0,00	0,0	0,0
Sn32/N409	LC10	-0,54	0,01	-0,07	0,00	0,00	0,00	0,0	0,0
Sn33/N403	LC10	-0,58	0,01	-0,08	0,00	0,00	0,00	0,0	0,0
Sn34/N404	LC10	0,08	-0,01	-0,04	0,00	0,00	0,00	0,0	0,0
Sn35/N398	LC10	0,05	-0,01	-0,05	0,00	0,00	0,00	0,0	0,0
Sn36/N399	LC10	0,75	0,00	-0,06	0,00	0,00	0,00	0,0	0,0



## LC11-teplota- - Reakce Rz

Values: **R<sub>z</sub>**

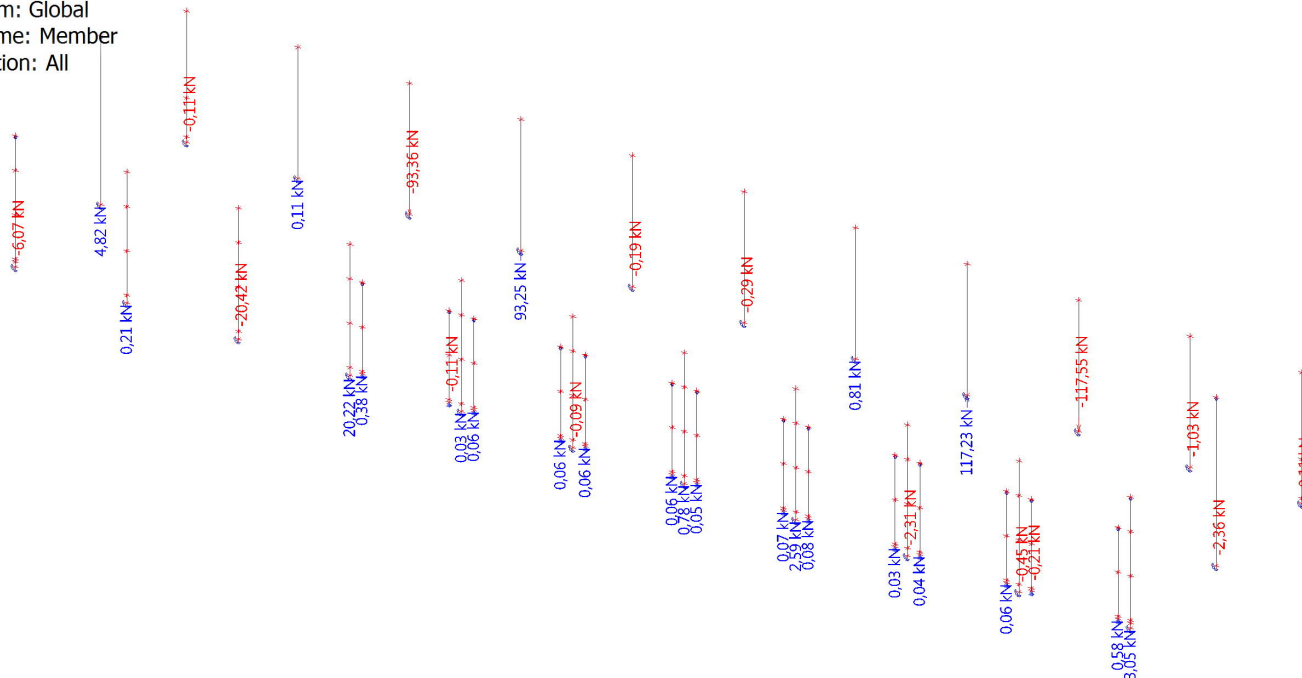
Linear calculation

Load case: LC11

System: Global

Extreme: Member

Selection: All



## Reakce od LC11

Linear calculation

Load case: LC11

System: Global

Extreme: Member

Selection: All

Nodal reactions

Name	Case	R <sub>x</sub> [kN]	R <sub>y</sub> [kN]	R <sub>z</sub> [kN]	M <sub>x</sub> [kNm]	M <sub>y</sub> [kNm]	M <sub>z</sub> [kNm]	e <sub>x</sub> [mm]	e <sub>y</sub> [mm]
Sn1/N1	LC11	0,18	-46,40	-6,07	0,00	0,00	-0,01	0,0	0,0
Sn2/N3	LC11	0,00	0,08	-0,11	0,00	0,00	0,00	0,0	0,0
Sn3/N7	LC11	-0,57	0,03	0,21	0,00	0,00	-0,01	0,0	0,0
Sn4/N9	LC11	0,00	0,03	0,11	0,00	0,00	0,00	0,0	0,0
Sn5/N13	LC11	-47,50	0,22	-20,42	0,00	0,00	-0,01	0,0	0,0
Sn6/N15	LC11	-81,27	-0,32	-93,36	0,00	0,00	0,00	0,0	0,0
Sn7/N19	LC11	21,40	-0,25	20,22	0,00	0,00	-0,01	0,0	0,0
Sn8/N21	LC11	-3,15	0,53	93,25	0,00	0,00	0,00	0,0	0,0
Sn9/N25	LC11	-4,35	0,01	0,03	0,00	0,00	0,00	0,0	0,0
Sn10/N27	LC11	0,00	0,21	-0,19	0,00	0,00	0,00	0,0	0,0
Sn11/N31	LC11	-3,59	0,01	-0,09	0,00	0,00	0,00	0,0	0,0
Sn12/N33	LC11	0,00	0,22	-0,29	0,00	0,00	0,00	0,0	0,0
Sn13/N37	LC11	-2,81	0,32	0,78	0,00	0,00	0,00	0,0	0,0
Sn14/N39	LC11	0,00	-0,21	0,81	0,00	0,00	0,00	0,0	0,0
Sn15/N43	LC11	-1,96	1,21	2,59	0,00	0,00	0,00	0,0	0,0
Sn16/N45	LC11	12,18	-1,38	117,23	0,00	0,00	0,01	0,0	0,0
Sn21/N49	LC11	1,42	-43,17	3,05	0,00	0,00	0,02	0,0	0,0
Sn22/N51	LC11	0,00	0,09	-0,11	0,00	0,00	0,00	0,0	0,0
Sn23/N55	LC11	-0,01	46,00	-2,36	0,00	0,00	0,00	0,0	0,0

Name	Case	R <sub>x</sub> [kN]	R <sub>y</sub> [kN]	R <sub>z</sub> [kN]	M <sub>x</sub> [kNm]	M <sub>y</sub> [kNm]	M <sub>z</sub> [kNm]	e <sub>x</sub> [mm]	e <sub>y</sub> [mm]
Sn24/N56	LC11	0,00	41,55	4,82	0,00	0,00	0,00	0,0	0,0
Sn17/N308	LC11	-1,07	-0,96	-2,31	0,00	0,00	0,01	0,0	0,0
Sn18/N310	LC11	90,31	1,78	-117,55	0,00	0,00	0,01	0,0	0,0
Sn19/N333	LC11	-0,08	-0,16	-0,45	0,00	0,00	0,01	0,0	0,0
Sn20/N335	LC11	0,00	0,56	-1,03	0,00	0,00	0,00	0,0	0,0
Sn38/N391	LC11	-3,67	0,00	0,58	0,00	0,00	0,00	0,0	0,0
Sn37/N393	LC11	-0,82	0,00	-0,21	0,00	0,00	0,00	0,0	0,0
Sn25/N423	LC11	13,60	0,00	0,38	0,00	0,00	0,00	0,0	0,0
Sn26/N424	LC11	2,50	0,00	-0,11	0,00	0,00	0,00	0,0	0,0
Sn27/N418	LC11	2,55	0,00	0,06	0,00	0,00	0,00	0,0	0,0
Sn28/N419	LC11	1,90	0,00	0,06	0,00	0,00	0,00	0,0	0,0
Sn29/N413	LC11	1,94	0,00	0,06	0,00	0,00	0,00	0,0	0,0
Sn30/N414	LC11	1,27	0,00	0,06	0,00	0,00	0,00	0,0	0,0
Sn31/N408	LC11	1,32	0,00	0,05	0,00	0,00	0,00	0,0	0,0
Sn32/N409	LC11	0,60	-0,01	0,07	0,00	0,00	0,00	0,0	0,0
Sn33/N403	LC11	0,64	-0,01	0,08	0,00	0,00	0,00	0,0	0,0
Sn34/N404	LC11	-0,09	0,01	0,03	0,00	0,00	0,00	0,0	0,0
Sn35/N398	LC11	-0,06	0,01	0,04	0,00	0,00	0,00	0,0	0,0
Sn36/N399	LC11	-0,84	0,00	0,06	0,00	0,00	0,00	0,0	0,0

## Nelineární kombinace RC\_NC5-ULS-celkem - Reakce Rz

Values: **R<sub>z</sub>**

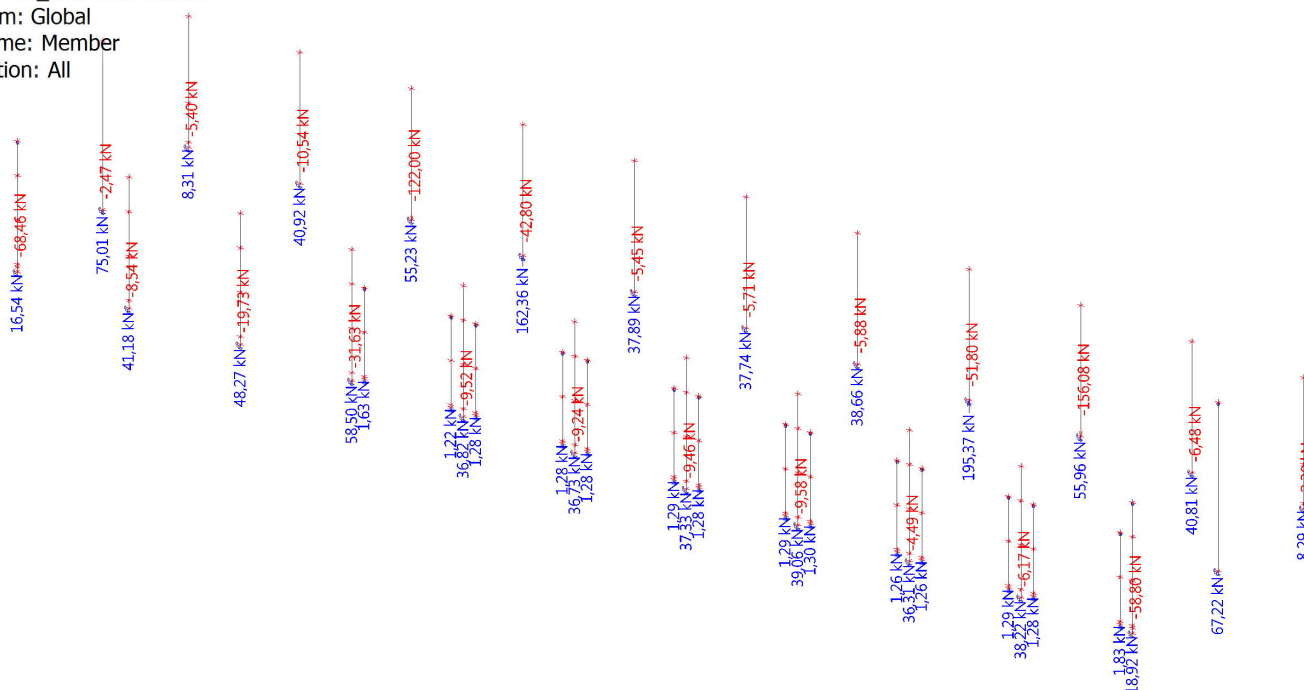
Nonlinear calculation

Class: RC\_NC5-ULS celkem

System: Global

Extreme: Member

Selection: All



## Reakce od nelineárních kombinací RC\_NC5-ULS-celkem

Nonlinear calculation

Class: RC\_NC5-ULS celkem

System: Global

Extreme: Member

Selection: All

Nodal reactions

Name	Case	R <sub>x</sub> [kN]	R <sub>y</sub> [kN]	R <sub>z</sub> [kN]	M <sub>x</sub> [kNm]	M <sub>y</sub> [kNm]	M <sub>z</sub> [kNm]	e <sub>x</sub> [mm]	e <sub>y</sub> [mm]
Sn1/N1	NC_ULS-Dolů103	0,33	-84,82	-40,45	0,00	0,00	-0,03	0,0	0,0
Sn1/N1	NC_ULS-Dolů109	0,33	-86,01	-45,74	0,00	0,00	-0,03	0,0	0,0
Sn1/N1	NC_ULS-Dolů92	0,28	-68,55	-68,46	0,00	0,00	-0,03	0,0	0,0
Sn1/N1	NC_ULS-Dolů11	0,01	0,01	16,54	0,00	0,00	-0,01	0,0	0,0
Sn1/N1	NC_ULS-Nahoru22	-0,48	0,04	5,11	0,00	0,00	0,02	0,0	0,0
Sn1/N1	NC_ULS-Dolů85	0,28	-67,40	-63,27	0,00	0,00	-0,03	0,0	0,0
Sn1/N1	NC_ULS-Nahoru14	-0,01	7,11	1,88	0,00	0,00	0,04	0,0	0,0
Sn2/N3	NC_ULS-Nahoru15	5,85	-1,27	0,80	0,00	0,00	0,01	0,0	0,0
Sn2/N3	NC_ULS-Nahoru12	-5,12	-2,45	-4,89	0,00	0,00	-0,01	0,0	0,0
Sn2/N3	NC_ULS-Dolů18	0,00	0,02	2,90	0,00	0,00	0,00	0,0	0,0
Sn2/N3	NC_ULS-Dolů11	0,00	-0,46	8,31	0,00	0,00	0,00	0,0	0,0
Sn2/N3	NC_ULS-Nahoru14	-5,12	-2,42	-4,95	0,00	0,00	-0,01	0,0	0,0
Sn2/N3	NC_ULS-Nahoru18	-5,12	-2,41	-5,40	0,00	0,00	-0,01	0,0	0,0
Sn2/N3	NC_ULS-Nahoru17	5,85	-1,04	0,02	0,00	0,00	0,01	0,0	0,0
Sn3/N7	NC_ULS-Nahoru15	0,90	-12,93	-1,20	0,00	0,00	-0,01	0,0	0,0
Sn3/N7	NC_ULS-Nahoru19	0,90	-13,20	-2,80	0,00	0,00	-0,01	0,0	0,0
Sn3/N7	NC_ULS-Dolů11	0,00	9,49	40,13	0,00	0,00	0,00	0,0	0,0
Sn3/N7	NC_ULS-Nahoru16	-0,50	8,66	-8,54	0,00	0,00	0,01	0,0	0,0
Sn3/N7	NC_ULS-Dolů59	-0,03	2,81	41,18	0,00	0,00	-0,02	0,0	0,0

Name	Case	R <sub>x</sub> [kN]	R <sub>y</sub> [kN]	R <sub>z</sub> [kN]	M <sub>x</sub> [kNm]	M <sub>y</sub> [kNm]	M <sub>z</sub> [kNm]	e <sub>x</sub> [mm]	e <sub>y</sub> [mm]
Sn3/N7	NC_ULS-Dolů107	-0,86	4,34	21,43	0,00	0,00	-0,01	0,0	0,0
Sn3/N7	NC_ULS-Dolů92	0,27	-7,12	20,64	0,00	0,00	-0,02	0,0	0,0
Sn3/N7	NC_ULS-Nahoru18	0,18	9,11	-8,02	0,00	0,00	0,02	0,0	0,0
Sn4/N9	NC_ULS-Dolů53	0,00	-13,55	38,72	0,00	0,00	0,00	0,0	0,0
Sn4/N9	NC_ULS-Nahoru26	0,00	-1,84	-2,74	0,00	0,00	-0,01	0,0	0,0
Sn4/N9	NC_ULS-Nahoru18	0,00	-1,95	-10,54	0,00	0,00	0,00	0,0	0,0
Sn4/N9	NC_ULS-Dolů12	0,00	-11,10	40,92	0,00	0,00	0,00	0,0	0,0
Sn4/N9	NC_ULS-Dolů109	0,00	-5,77	12,67	0,00	0,00	0,01	0,0	0,0
Sn4/N9	NC_ULS-Nahoru23	0,00	-2,15	-1,31	0,00	0,00	-0,01	0,0	0,0
Sn5/N13	NC_ULS-Nahoru26	3,44	6,62	3,07	0,00	0,00	0,04	0,0	0,0
Sn5/N13	NC_ULS-Nahoru19	-0,31	-14,04	20,87	0,00	0,00	-0,08	0,0	0,0
Sn5/N13	NC_ULS-Nahoru14	-5,75	9,43	-10,35	0,00	0,00	0,05	0,0	0,0
Sn5/N13	NC_ULS-Nahoru16	-14,23	8,77	-19,73	0,00	0,00	0,04	0,0	0,0
Sn5/N13	NC_ULS-Dolů53	-0,84	1,67	48,27	0,00	0,00	0,00	0,0	0,0
Sn5/N13	NC_ULS-Dolů18	-69,88	2,08	-17,84	0,00	0,00	0,00	0,0	0,0
Sn5/N13	NC_ULS-Nahoru17	-1,46	-12,93	14,49	0,00	0,00	-0,08	0,0	0,0
Sn5/N13	NC_ULS-Dolů11	0,08	9,15	38,90	0,00	0,00	0,05	0,0	0,0
Sn6/N15	NC_ULS-Nahoru23	0,03	-2,57	38,46	0,00	0,00	-0,02	0,0	0,0
Sn6/N15	NC_ULS-Dolů85	-60,04	-15,62	-25,08	0,00	0,00	-0,05	0,0	0,0
Sn6/N15	NC_ULS-Nahoru8	0,02	-1,99	36,03	0,00	0,00	-0,01	0,0	0,0
Sn6/N15	NC_ULS-Dolů18	-119,17	-2,45	-122,00	0,00	0,00	0,00	0,0	0,0
Sn6/N15	NC_ULS-Nahoru22	0,03	-2,31	55,23	0,00	0,00	-0,02	0,0	0,0
Sn6/N15	NC_ULS-Dolů108	-119,28	-4,96	-112,42	0,00	0,00	-0,02	0,0	0,0
Sn6/N15	NC_ULS-Dolů53	0,01	-14,77	48,38	0,00	0,00	-0,06	0,0	0,0
Sn7/N19	NC_ULS-Dolů108	32,81	3,64	45,06	0,00	0,00	-0,04	0,0	0,0
Sn7/N19	NC_ULS-Dolů11	0,27	9,51	38,48	0,00	0,00	-0,04	0,0	0,0
Sn7/N19	NC_ULS-Nahoru19	18,22	-13,28	-31,63	0,00	0,00	0,01	0,0	0,0
Sn7/N19	NC_ULS-Dolů17	32,18	6,92	58,50	0,00	0,00	-0,05	0,0	0,0
Sn7/N19	NC_ULS-Dolů63	0,01	6,60	29,87	0,00	0,00	-0,03	0,0	0,0
Sn7/N19	NC_ULS-Dolů59	14,97	1,72	41,82	0,00	0,00	-0,06	0,0	0,0
Sn7/N19	NC_ULS-Nahoru18	6,87	4,02	6,52	0,00	0,00	0,03	0,0	0,0
Sn8/N21	NC_ULS-Dolů53	7,77	-12,73	26,89	0,00	0,00	0,07	0,0	0,0
Sn8/N21	NC_ULS-Dolů18	0,00	-1,30	141,55	0,00	0,00	0,02	0,0	0,0
Sn8/N21	NC_ULS-Nahoru27	42,64	-4,46	-42,80	0,00	0,00	0,02	0,0	0,0
Sn8/N21	NC_ULS-Dolů17	0,00	-7,40	162,36	0,00	0,00	0,05	0,0	0,0
Sn8/N21	NC_ULS-Nahoru1	-0,02	-2,60	9,81	0,00	0,00	0,01	0,0	0,0
Sn8/N21	NC_ULS-Nahoru26	33,11	-2,17	-35,00	0,00	0,00	-0,01	0,0	0,0
Sn8/N21	NC_ULS-Dolů85	7,39	-10,61	81,83	0,00	0,00	0,07	0,0	0,0
Sn9/N25	NC_ULS-Nahoru26	8,95	1,20	1,10	0,00	0,00	0,00	0,0	0,0
Sn9/N25	NC_ULS-Nahoru19	-2,80	-9,87	-9,52	0,00	0,00	-0,01	0,0	0,0
Sn9/N25	NC_ULS-Dolů11	0,17	9,52	36,82	0,00	0,00	0,00	0,0	0,0
Sn9/N25	NC_ULS-Dolů111	-9,44	0,61	20,05	0,00	0,00	-0,01	0,0	0,0
Sn9/N25	NC_ULS-Dolů92	-8,66	-4,41	10,96	0,00	0,00	-0,01	0,0	0,0
Sn9/N25	NC_ULS-Nahoru12	2,02	1,11	-2,78	0,00	0,00	0,01	0,0	0,0
Sn10/N27	NC_ULS-Dolů81	0,00	-14,04	27,99	0,00	0,00	0,00	0,0	0,0
Sn10/N27	NC_ULS-Nahoru16	0,00	-1,20	-5,43	0,00	0,00	0,00	0,0	0,0
Sn10/N27	NC_ULS-Nahoru18	0,00	-1,25	-5,45	0,00	0,00	0,00	0,0	0,0
Sn10/N27	NC_ULS-Dolů11	0,00	-10,23	37,89	0,00	0,00	0,00	0,0	0,0
Sn10/N27	NC_ULS-Dolů107	0,00	-4,03	15,77	0,00	0,00	0,00	0,0	0,0
Sn10/N27	NC_ULS-Nahoru26	0,00	-1,71	0,47	0,00	0,00	-0,01	0,0	0,0
Sn10/N27	NC_ULS-Dolů109	0,00	-6,30	12,02	0,00	0,00	0,00	0,0	0,0
Sn11/N31	NC_ULS-Nahoru26	7,86	1,26	1,12	0,00	0,00	0,00	0,0	0,0
Sn11/N31	NC_ULS-Nahoru19	-2,87	-10,04	-9,24	0,00	0,00	-0,01	0,0	0,0
Sn11/N31	NC_ULS-Dolů11	0,12	9,50	36,73	0,00	0,00	0,00	0,0	0,0
Sn11/N31	NC_ULS-Dolů111	-7,91	0,83	20,70	0,00	0,00	0,00	0,0	0,0
Sn11/N31	NC_ULS-Dolů88	-4,62	-4,75	11,31	0,00	0,00	-0,01	0,0	0,0
Sn11/N31	NC_ULS-Nahoru12	1,86	1,03	-3,08	0,00	0,00	0,01	0,0	0,0
Sn12/N33	NC_ULS-Dolů81	0,00	-14,85	29,68	0,00	0,00	0,00	0,0	0,0

Name	Case	R <sub>x</sub> [kN]	R <sub>y</sub> [kN]	R <sub>z</sub> [kN]	M <sub>x</sub> [kNm]	M <sub>y</sub> [kNm]	M <sub>z</sub> [kNm]	e <sub>x</sub> [mm]	e <sub>y</sub> [mm]
Sn12/N33	NC_ULS-Nahoru16	0,00	-1,09	-5,71	0,00	0,00	0,00	0,0	0,0
Sn12/N33	NC_ULS-Dolů11	0,00	-10,14	37,74	0,00	0,00	0,00	0,0	0,0
Sn12/N33	NC_ULS-Dolů100	0,00	-4,28	16,93	0,00	0,00	0,00	0,0	0,0
Sn12/N33	NC_ULS-Nahoru26	0,00	-1,60	0,32	0,00	0,00	-0,01	0,0	0,0
Sn12/N33	NC_ULS-Dolů109	0,00	-6,85	13,07	0,00	0,00	0,01	0,0	0,0
Sn13/N37	NC_ULS-Nahoru26	6,79	1,26	0,97	0,00	0,00	0,00	0,0	0,0
Sn13/N37	NC_ULS-Nahoru19	-2,97	-9,89	-9,46	0,00	0,00	-0,01	0,0	0,0
Sn13/N37	NC_ULS-Dolů12	-2,39	9,69	37,33	0,00	0,00	0,00	0,0	0,0
Sn13/N37	NC_ULS-Dolů111	-6,36	1,19	21,50	0,00	0,00	0,00	0,0	0,0
Sn13/N37	NC_ULS-Dolů91	-4,01	-2,61	17,43	0,00	0,00	-0,01	0,0	0,0
Sn13/N37	NC_ULS-Nahoru16	1,73	0,73	-4,41	0,00	0,00	0,01	0,0	0,0
Sn14/N39	NC_ULS-Dolů91	0,00	-13,28	25,97	0,00	0,00	0,00	0,0	0,0
Sn14/N39	NC_ULS-Dolů81	0,00	-14,31	28,62	0,00	0,00	0,00	0,0	0,0
Sn14/N39	NC_ULS-Nahoru18	0,00	-1,07	-5,88	0,00	0,00	0,00	0,0	0,0
Sn14/N39	NC_ULS-Dolů12	0,00	-10,48	38,66	0,00	0,00	0,00	0,0	0,0
Sn14/N39	NC_ULS-Dolů17	0,00	-8,18	30,87	0,00	0,00	0,01	0,0	0,0
Sn14/N39	NC_ULS-Nahoru26	0,00	-1,38	-0,10	0,00	0,00	-0,01	0,0	0,0
Sn14/N39	NC_ULS-Dolů109	0,00	-7,05	13,82	0,00	0,00	0,01	0,0	0,0
Sn15/N43	NC_ULS-Nahoru26	5,68	1,12	0,54	0,00	0,00	0,00	0,0	0,0
Sn15/N43	NC_ULS-Nahoru19	-3,14	-9,65	-9,58	0,00	0,00	-0,01	0,0	0,0
Sn15/N43	NC_ULS-Dolů12	-1,68	10,48	39,06	0,00	0,00	0,00	0,0	0,0
Sn15/N43	NC_ULS-Dolů109	-4,76	0,06	14,08	0,00	0,00	0,01	0,0	0,0
Sn15/N43	NC_ULS-Nahoru27	-1,43	-5,56	-2,81	0,00	0,00	-0,01	0,0	0,0
Sn15/N43	NC_ULS-Dolů107	-2,96	5,95	22,45	0,00	0,00	0,01	0,0	0,0
Sn16/N45	NC_ULS-Nahoru2	0,02	-4,02	9,32	0,00	0,00	-0,02	0,0	0,0
Sn16/N45	NC_ULS-Dolů59	0,01	-14,04	134,32	0,00	0,00	-0,06	0,0	0,0
Sn16/N45	NC_ULS-Nahoru18	-29,94	-0,76	-39,27	0,00	0,00	-0,01	0,0	0,0
Sn16/N45	NC_ULS-Dolů17	0,00	-10,01	195,37	0,00	0,00	-0,03	0,0	0,0
Sn16/N45	NC_ULS-Nahoru26	-46,07	-0,82	-51,80	0,00	0,00	-0,01	0,0	0,0
Sn16/N45	NC_ULS-Dolů53	0,02	-13,42	39,48	0,00	0,00	-0,07	0,0	0,0
Sn16/N45	NC_ULS-Dolů18	0,00	-3,97	175,31	0,00	0,00	0,00	0,0	0,0
Sn21/N49	NC_ULS-Dolů18	2,10	-63,95	9,23	0,00	0,00	0,03	0,0	0,0
Sn21/N49	NC_ULS-Dolů109	1,23	-79,00	-32,01	0,00	0,00	0,04	0,0	0,0
Sn21/N49	NC_ULS-Nahoru4	0,83	0,56	2,91	0,00	0,00	-0,03	0,0	0,0
Sn21/N49	NC_ULS-Dolů92	-0,09	-61,61	-58,80	0,00	0,00	0,04	0,0	0,0
Sn21/N49	NC_ULS-Dolů12	1,22	-35,23	18,92	0,00	0,00	0,03	0,0	0,0
Sn21/N49	NC_ULS-Nahoru24	-4,70	-22,14	-23,23	0,00	0,00	0,00	0,0	0,0
Sn21/N49	NC_ULS-Nahoru26	0,71	0,44	1,57	0,00	0,00	-0,04	0,0	0,0
Sn21/N49	NC_ULS-Dolů103	1,22	-77,80	-26,94	0,00	0,00	0,05	0,0	0,0
Sn22/N51	NC_ULS-Nahoru18	0,00	-2,44	-1,93	0,00	0,00	0,00	0,0	0,0
Sn22/N51	NC_ULS-Nahoru14	0,00	-2,46	-1,46	0,00	0,00	0,00	0,0	0,0
Sn22/N51	NC_ULS-Dolů18	0,00	0,04	2,89	0,00	0,00	0,00	0,0	0,0
Sn22/N51	NC_ULS-Nahoru16	0,00	-2,18	-2,30	0,00	0,00	0,00	0,0	0,0
Sn22/N51	NC_ULS-Dolů11	0,00	-0,46	8,29	0,00	0,00	0,00	0,0	0,0
Sn22/N51	NC_ULS-Nahoru24	0,00	-1,06	2,25	0,00	0,00	0,00	0,0	0,0
Sn22/N51	NC_ULS-Nahoru26	0,00	-1,78	0,47	0,00	0,00	0,00	0,0	0,0
Sn22/N51	NC_ULS-Dolů17	0,00	-0,23	6,70	0,00	0,00	0,00	0,0	0,0
Sn23/N55	NC_ULS-Nahoru26	0,01	-0,02	5,16	0,00	0,00	-0,01	0,0	0,0
Sn23/N55	NC_ULS-Nahoru4	0,01	-0,02	7,88	0,00	0,00	-0,01	0,0	0,0
Sn23/N55	NC_ULS-Dolů101	-0,01	70,51	4,70	0,00	0,00	0,00	0,0	0,0
Sn23/N55	NC_ULS-Dolů18	-0,01	68,98	2,65	0,00	0,00	0,01	0,0	0,0
Sn23/N55	NC_ULS-Dolů86	-0,02	7,99	67,22	0,00	0,00	0,02	0,0	0,0
Sn23/N55	NC_ULS-Dolů94	-0,02	7,96	66,34	0,00	0,00	0,02	0,0	0,0
Sn23/N55	NC_ULS-Nahoru23	0,01	-0,02	6,12	0,00	0,00	-0,01	0,0	0,0
Sn23/N55	NC_ULS-Dolů92	-0,02	8,17	62,14	0,00	0,00	0,02	0,0	0,0
Sn24/N56	NC_ULS-Nahoru19	15,35	-0,02	43,11	0,00	0,00	0,00	0,0	0,0
Sn24/N56	NC_ULS-Nahoru5	9,21	-0,02	27,39	0,00	0,00	0,00	0,0	0,0
Sn24/N56	NC_ULS-Dolů101	0,00	64,36	14,58	0,00	0,00	0,00	0,0	0,0

Name	Case	R <sub>x</sub> [kN]	R <sub>y</sub> [kN]	R <sub>z</sub> [kN]	M <sub>x</sub> [kNm]	M <sub>y</sub> [kNm]	M <sub>z</sub> [kNm]	e <sub>x</sub> [mm]	e <sub>y</sub> [mm]
Sn24/N56	NC_ULS-Dolů86	15,34	2,91	75,01	0,00	0,00	-0,01	0,0	0,0
Sn24/N56	NC_ULS-Nahoru18	-13,42	2,97	-2,47	0,00	0,00	0,01	0,0	0,0
Sn24/N56	NC_ULS-Dolů92	15,34	3,08	69,95	0,00	0,00	-0,01	0,0	0,0
Sn17/N308	NC_ULS-Nahoru26	4,51	1,27	1,58	0,00	0,00	-0,01	0,0	0,0
Sn17/N308	NC_ULS-Nahoru19	-3,43	-6,94	-4,41	0,00	0,00	0,00	0,0	0,0
Sn17/N308	NC_ULS-Nahoru16	1,56	0,59	-4,49	0,00	0,00	0,01	0,0	0,0
Sn17/N308	NC_ULS-Dolů11	-0,01	9,27	36,31	0,00	0,00	0,00	0,0	0,0
Sn17/N308	NC_ULS-Dolů92	-3,46	-2,02	14,79	0,00	0,00	0,00	0,0	0,0
Sn17/N308	NC_ULS-Nahoru27	-2,38	-3,87	0,42	0,00	0,00	-0,01	0,0	0,0
Sn17/N308	NC_ULS-Dolů107	-1,63	2,84	15,34	0,00	0,00	0,01	0,0	0,0
Sn18/N310	NC_ULS-Dolů81	3,67	-14,20	26,29	0,00	0,00	0,06	0,0	0,0
Sn18/N310	NC_ULS-Dolů18	144,62	0,52	-156,08	0,00	0,00	0,02	0,0	0,0
Sn18/N310	NC_ULS-Nahoru22	-0,03	-2,40	55,96	0,00	0,00	0,01	0,0	0,0
Sn18/N310	NC_ULS-Nahoru18	-0,02	-2,09	29,96	0,00	0,00	-0,01	0,0	0,0
Sn18/N310	NC_ULS-Dolů59	85,81	-12,40	-60,06	0,00	0,00	0,07	0,0	0,0
Sn19/N333	NC_ULS-Nahoru26	3,18	0,32	-0,30	0,00	0,00	-0,01	0,0	0,0
Sn19/N333	NC_ULS-Nahoru19	-3,84	-6,06	-4,13	0,00	0,00	0,00	0,0	0,0
Sn19/N333	NC_ULS-Dolů11	-0,04	9,58	38,13	0,00	0,00	0,00	0,0	0,0
Sn19/N333	NC_ULS-Nahoru18	2,87	-0,23	-6,17	0,00	0,00	0,00	0,0	0,0
Sn19/N333	NC_ULS-Dolů59	-1,35	6,97	38,22	0,00	0,00	0,01	0,0	0,0
Sn19/N333	NC_ULS-Nahoru15	-3,84	-5,79	-2,77	0,00	0,00	0,00	0,0	0,0
Sn19/N333	NC_ULS-Nahoru22	-1,64	2,42	11,03	0,00	0,00	-0,01	0,0	0,0
Sn19/N333	NC_ULS-Dolů111	-1,42	3,11	24,46	0,00	0,00	0,01	0,0	0,0
Sn20/N335	NC_ULS-Dolů88	0,00	-8,45	14,25	0,00	0,00	0,00	0,0	0,0
Sn20/N335	NC_ULS-Dolů53	0,00	-13,37	38,34	0,00	0,00	0,00	0,0	0,0
Sn20/N335	NC_ULS-Nahoru16	0,00	-1,10	-6,48	0,00	0,00	0,00	0,0	0,0
Sn20/N335	NC_ULS-Dolů11	0,00	-11,09	40,81	0,00	0,00	0,00	0,0	0,0
Sn20/N335	NC_ULS-Dolů17	0,00	-7,73	30,44	0,00	0,00	0,00	0,0	0,0
Sn20/N335	NC_ULS-Nahoru26	0,00	-2,30	0,93	0,00	0,00	0,00	0,0	0,0
Sn38/N391	NC_ULS-Nahoru24	7,50	-2,25	0,90	0,00	0,00	0,00	0,0	0,0
Sn38/N391	NC_ULS-Nahoru19	5,41	-3,75	0,82	0,00	0,00	0,00	0,0	0,0
Sn38/N391	NC_ULS-Nahoru12	-1,42	2,48	0,98	0,00	0,00	0,00	0,0	0,0
Sn38/N391	NC_ULS-Nahoru25	6,20	0,01	0,75	0,00	0,00	0,00	0,0	0,0
Sn38/N391	NC_ULS-Dolů101	-5,39	0,01	1,83	0,00	0,00	0,00	0,0	0,0
Sn38/N391	NC_ULS-Dolů18	-5,45	0,00	1,70	0,00	0,00	0,00	0,0	0,0
Sn37/N393	NC_ULS-Nahoru24	2,84	-2,23	0,87	0,00	0,00	0,00	0,0	0,0
Sn37/N393	NC_ULS-Dolů85	0,11	-3,77	1,12	0,00	0,00	0,00	0,0	0,0
Sn37/N393	NC_ULS-Nahoru16	-0,84	2,52	0,80	0,00	0,00	0,00	0,0	0,0
Sn37/N393	NC_ULS-Dolů24	0,73	-2,28	1,28	0,00	0,00	0,00	0,0	0,0
Sn37/N393	NC_ULS-Dolů18	-1,20	-0,02	0,57	0,00	0,00	0,00	0,0	0,0
Sn25/N423	NC_ULS-Dolů109	29,76	-2,26	1,38	0,00	0,00	0,00	0,0	0,0
Sn25/N423	NC_ULS-Dolů81	15,91	-3,80	1,03	0,00	0,00	0,00	0,0	0,0
Sn25/N423	NC_ULS-Nahoru18	-18,14	2,51	0,84	0,00	0,00	0,00	0,0	0,0
Sn25/N423	NC_ULS-Nahoru27	-5,78	-2,27	0,75	0,00	0,00	0,00	0,0	0,0
Sn25/N423	NC_ULS-Dolů17	19,89	-0,04	1,63	0,00	0,00	0,00	0,0	0,0
Sn25/N423	NC_ULS-Nahoru26	-23,59	1,50	0,76	0,00	0,00	0,00	0,0	0,0
Sn26/N424	NC_ULS-Dolů111	5,49	-2,28	0,78	0,00	0,00	0,00	0,0	0,0
Sn26/N424	NC_ULS-Dolů85	5,03	-3,78	1,00	0,00	0,00	0,00	0,0	0,0
Sn26/N424	NC_ULS-Nahoru18	-3,79	2,52	0,74	0,00	0,00	0,00	0,0	0,0
Sn26/N424	NC_ULS-Dolů18	3,75	-0,01	0,70	0,00	0,00	0,00	0,0	0,0
Sn26/N424	NC_ULS-Dolů5	-0,08	-0,04	1,22	0,00	0,00	0,00	0,0	0,0
Sn26/N424	NC_ULS-Nahoru26	-5,08	1,51	0,75	0,00	0,00	0,00	0,0	0,0
Sn27/N418	NC_ULS-Dolů111	5,56	-2,29	0,99	0,00	0,00	0,00	0,0	0,0
Sn27/N418	NC_ULS-Dolů81	3,02	-3,80	1,03	0,00	0,00	0,00	0,0	0,0
Sn27/N418	NC_ULS-Nahoru18	-3,81	2,52	0,77	0,00	0,00	0,00	0,0	0,0
Sn27/N418	NC_ULS-Nahoru27	-0,65	-2,25	0,74	0,00	0,00	0,00	0,0	0,0
Sn27/N418	NC_ULS-Dolů6	2,18	-0,04	1,28	0,00	0,00	0,00	0,0	0,0
Sn27/N418	NC_ULS-Nahoru26	-5,12	1,51	0,75	0,00	0,00	0,00	0,0	0,0



Name	Case	R <sub>x</sub> [kN]	R <sub>y</sub> [kN]	R <sub>z</sub> [kN]	M <sub>x</sub> [kNm]	M <sub>y</sub> [kNm]	M <sub>z</sub> [kNm]	e <sub>x</sub> [mm]	e <sub>y</sub> [mm]
Sn28/N419	NC_ULS-Dolů111	4,28	-2,28	0,99	0,00	0,00	0,00	0,0	0,0
Sn28/N419	NC_ULS-Dolů85	4,01	-3,79	1,10	0,00	0,00	0,00	0,0	0,0
Sn28/N419	NC_ULS-Nahoru18	-3,21	2,52	0,77	0,00	0,00	0,00	0,0	0,0
Sn28/N419	NC_ULS-Nahoru27	0,01	-2,26	0,74	0,00	0,00	0,00	0,0	0,0
Sn28/N419	NC_ULS-Dolů6	1,63	-0,04	1,28	0,00	0,00	0,00	0,0	0,0
Sn28/N419	NC_ULS-Nahoru26	-4,21	1,51	0,75	0,00	0,00	0,00	0,0	0,0
Sn29/N413	NC_ULS-Dolů111	4,35	-2,28	0,99	0,00	0,00	0,00	0,0	0,0
Sn29/N413	NC_ULS-Dolů81	2,60	-3,79	1,04	0,00	0,00	0,00	0,0	0,0
Sn29/N413	NC_ULS-Nahoru14	-3,24	2,52	0,90	0,00	0,00	0,00	0,0	0,0
Sn29/N413	NC_ULS-Nahoru27	-0,05	-2,25	0,74	0,00	0,00	0,00	0,0	0,0
Sn29/N413	NC_ULS-Dolů6	1,67	-0,04	1,28	0,00	0,00	0,00	0,0	0,0
Sn29/N413	NC_ULS-Nahoru26	-4,27	1,51	0,76	0,00	0,00	0,00	0,0	0,0
Sn30/N414	NC_ULS-Dolů111	3,06	-2,29	1,00	0,00	0,00	0,00	0,0	0,0
Sn30/N414	NC_ULS-Dolů81	2,18	-3,80	1,04	0,00	0,00	0,00	0,0	0,0
Sn30/N414	NC_ULS-Nahoru18	-2,65	2,52	0,77	0,00	0,00	0,00	0,0	0,0
Sn30/N414	NC_ULS-Nahoru27	0,62	-2,26	0,74	0,00	0,00	0,00	0,0	0,0
Sn30/N414	NC_ULS-Dolů6	1,10	-0,04	1,29	0,00	0,00	0,00	0,0	0,0
Sn30/N414	NC_ULS-Nahoru26	-3,37	1,51	0,75	0,00	0,00	0,00	0,0	0,0
Sn31/N408	NC_ULS-Dolů111	3,14	-2,28	0,99	0,00	0,00	0,00	0,0	0,0
Sn31/N408	NC_ULS-Dolů85	3,06	-3,78	1,09	0,00	0,00	0,00	0,0	0,0
Sn31/N408	NC_ULS-Nahoru18	-2,68	2,52	0,77	0,00	0,00	0,00	0,0	0,0
Sn31/N408	NC_ULS-Nahoru27	0,56	-2,25	0,74	0,00	0,00	0,00	0,0	0,0
Sn31/N408	NC_ULS-Dolů6	1,14	-0,04	1,28	0,00	0,00	0,00	0,0	0,0
Sn31/N408	NC_ULS-Nahoru26	-3,42	1,51	0,76	0,00	0,00	0,00	0,0	0,0
Sn32/N409	NC_ULS-Dolů92	2,03	-3,79	0,94	0,00	0,00	0,00	0,0	0,0
Sn32/N409	NC_ULS-Dolů85	2,02	-3,81	1,10	0,00	0,00	0,00	0,0	0,0
Sn32/N409	NC_ULS-Nahoru14	-2,09	2,52	0,90	0,00	0,00	0,00	0,0	0,0
Sn32/N409	NC_ULS-Nahoru27	1,27	-2,26	0,74	0,00	0,00	0,00	0,0	0,0
Sn32/N409	NC_ULS-Dolů6	0,53	-0,05	1,29	0,00	0,00	0,00	0,0	0,0
Sn32/N409	NC_ULS-Nahoru26	-2,50	1,51	0,75	0,00	0,00	0,00	0,0	0,0
Sn33/N403	NC_ULS-Dolů92	2,08	-3,75	0,93	0,00	0,00	0,00	0,0	0,0
Sn33/N403	NC_ULS-Dolů85	2,07	-3,77	1,09	0,00	0,00	0,00	0,0	0,0
Sn33/N403	NC_ULS-Nahoru16	-0,92	2,51	0,82	0,00	0,00	0,00	0,0	0,0
Sn33/N403	NC_ULS-Nahoru27	1,23	-2,24	0,73	0,00	0,00	0,00	0,0	0,0
Sn33/N403	NC_ULS-Dolů6	0,57	-0,05	1,30	0,00	0,00	0,00	0,0	0,0
Sn33/N403	NC_ULS-Nahoru26	-2,55	1,50	0,75	0,00	0,00	0,00	0,0	0,0
Sn34/N404	NC_ULS-Nahoru15	2,17	-3,78	0,92	0,00	0,00	0,00	0,0	0,0
Sn34/N404	NC_ULS-Dolů81	1,48	-3,82	1,07	0,00	0,00	0,00	0,0	0,0
Sn34/N404	NC_ULS-Nahoru18	-1,51	2,52	0,78	0,00	0,00	0,00	0,0	0,0
Sn34/N404	NC_ULS-Dolů31	0,60	-2,30	1,26	0,00	0,00	0,00	0,0	0,0
Sn34/N404	NC_ULS-Nahoru26	-1,59	1,52	0,76	0,00	0,00	0,00	0,0	0,0
Sn35/N398	NC_ULS-Nahoru15	2,15	-3,72	0,90	0,00	0,00	0,00	0,0	0,0
Sn35/N398	NC_ULS-Dolů81	1,48	-3,77	1,04	0,00	0,00	0,00	0,0	0,0
Sn35/N398	NC_ULS-Nahoru16	-0,87	2,51	0,83	0,00	0,00	0,00	0,0	0,0
Sn35/N398	NC_ULS-Nahoru27	1,98	-2,24	0,75	0,00	0,00	0,00	0,0	0,0
Sn35/N398	NC_ULS-Dolů6	-0,03	-0,04	1,26	0,00	0,00	0,00	0,0	0,0
Sn35/N398	NC_ULS-Nahoru26	-1,63	1,49	0,76	0,00	0,00	0,00	0,0	0,0
Sn36/N399	NC_ULS-Nahoru24	2,87	-2,27	0,88	0,00	0,00	0,00	0,0	0,0
Sn36/N399	NC_ULS-Dolů81	1,17	-3,82	1,07	0,00	0,00	0,00	0,0	0,0
Sn36/N399	NC_ULS-Nahoru18	-0,89	2,52	0,76	0,00	0,00	0,00	0,0	0,0
Sn36/N399	NC_ULS-Nahoru26	-0,59	1,51	0,74	0,00	0,00	0,00	0,0	0,0
Sn36/N399	NC_ULS-Dolů6	-0,71	-0,04	1,29	0,00	0,00	0,00	0,0	0,0
Sn36/N399	NC_ULS-Dolů18	-1,23	-0,01	0,96	0,00	0,00	0,00	0,0	0,0